

MINERAIS DO PARANÁ S/A - MINEROPAR

PROJETO FOSFORITA

RELATÓRIO DA 1ª FASE

LUIS TADEU CAVA

M  
553.376  
.1  
C376  
1P

CURITIBA

1985

MINERAIS DO PARANA S.A - MINEROPAR

PROJETO FOSFORITA  
RELATÓRIO DA 1<sup>a</sup> FASE

LUIS TADEU CAVA

CURITIBA  
1985

Manuscrito da V. foz. Projeto Serra

c

## RESUMO

São apresentados os resultados obtidos nos trabalhos de prospecção de fosfato sedimentar em rochas da Formação Capiru, numa área com cerca de  $60 \text{ km}^2$  situada entre as localidades de Pacas e Fazenda Primavera, porção nordeste do Estado do Paraná.

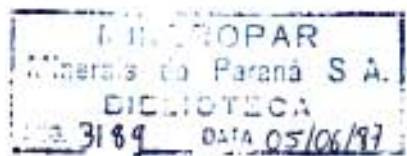
As atividades desenvolvidas foram litogeocímica sistemática (emprego de reagentes químicos) e levantamento de perfis geológicos integrados a informações de levantamento aerocintilômetro disponível (Projeto Serra do Mar Sul). Os dados físicos de produção perfazem a execução de 20 seções geológicas com descrição de 313 afloramentos, 221 dosagens para  $\text{P}_2\text{O}_5$  e descrição de 10 lâminas petrográficas.

A metodologia de trabalho adotada permitiu integrar os diferentes métodos utilizados na prospecção de fosforita, de forma que a seleção ou descarte de áreas potenciais teve como suporte à congruência ou não dos parâmetros favoráveis à fosfatogênese.

Os resultados obtidos nesta etapa levou à seleção de uma área com cerca de  $5 \text{ km}^2$ , onde foram detectados diversas faixas portadoras de camadas de fosforita com teores de até 8,5%, e na qual é recomendada a execução de trabalhos de detalhe.



Biblioteca/Mineropar



## SUMARIO

INTRODUÇÃO .....	01
LOCALIZAÇÃO E DISPONIBILIDADE DE DADOS .....	01
GEOLOGIA DA ÁREA .....	02
ATIVIDADES E MÉTODOS DE TRABALHO .....	06
RESULTADOS OBTIDOS .....	08
CONCLUSÕES E RECOMENDAÇÕES .....	17
BIBLIOGRAFIA .....	18

## FIGURAS

Fig. 01 Mapa de Localização .....	02
Fig. 02 Mapa de Situação Legal .....	03
Fig. 03 Mapa Geológico .....	04

## ANEXOS

- 01 - Mapa Litogegeoquímico
- 02 - Mapa de Seções e Afloramentos
- 03 - Mapa de Multi-atributos
- 04 - Mapa Geológico
- 05 - Fichas de Análises Químicas
- 06 - Fichas de Análises Petrográficas

## 1 - INTRODUÇÃO

No recente estudo interno promovido na MINEROPAR (GEFEM, 1984) para o levantamento das substâncias minerais de maior interesse para o Estado, o fosfato destacou-se no elenco de substâncias prioritárias como merecedor de uma investigação de cunho mais abrangente e objetiva.

Com a descoberta de amostras com teores significantes (4%) de fosforita na Formação Capiru (Projeto Capivari Pardo, 1984), cujo modelo deposicional nos leva a constatar condições favoráveis a concentrações econômicas de fosfato sedimentar, delineou-se uma nova e importante perspectiva, consubstanciada no Projeto Fosforita - Etapa Avaliação de Alvos.

Os trabalhos de prospecção desta etapa, desenvolvidos no período de 15.01 a 30.06.85, restringiu-se, por motivos legais, à área do Projeto Capivari Pardo e tiveram como objetivos principais à avaliação das mineralizações detectadas e, a seleção de faixas de interesse para detalhamento geológico.

A equipe executora do projeto constitui-se por um geólogo (tempo integral) e pelos seguintes técnicos em geologia e prospectores (tempo parcial): Clóvis Roberto da Fonseca (47 dias), Luís Carlos Santos (39 dias), Flávio Calegarim (46 dias).

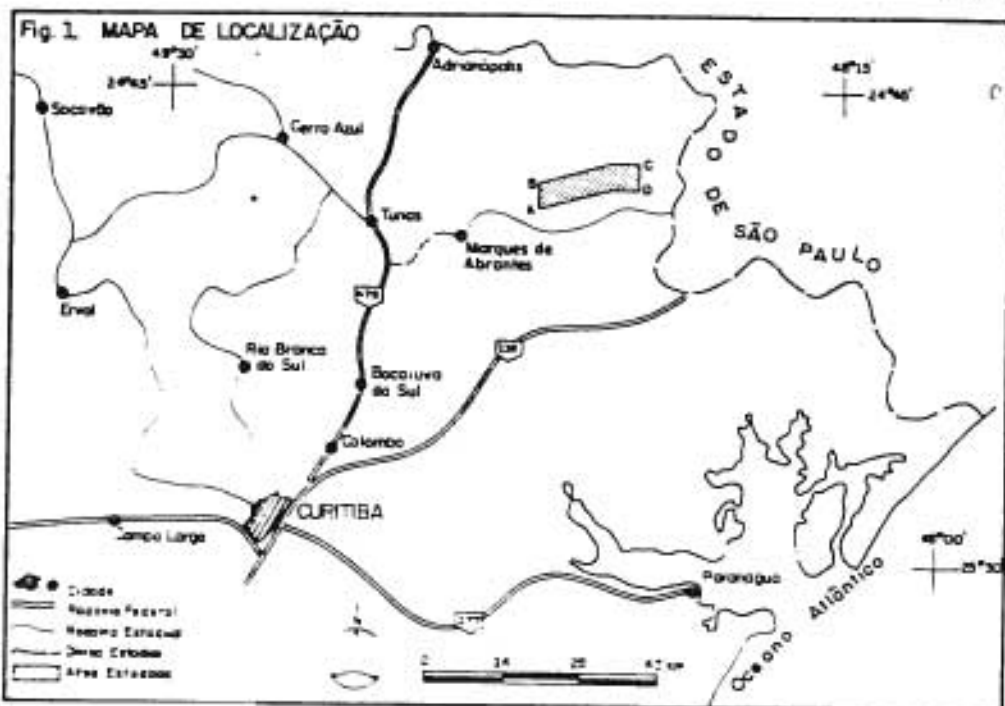
Os gastos diretos previstos para esta etapa, excluindo-se salários, foram de: 331,22 ORTNs e os realizados somam a 337,96 ORTNs.

## 2 - LOCALIZAÇÃO E DISPONIBILIDADE DE DADOS

A área estudada possui cerca de 60 km<sup>2</sup> e está localizada 30 km a NE da localidade de Marquês de Abrantes, nas proximidades da divisa com o Estado de São Paulo (fig. 1). Está delimitada por um polígono com as seguintes coordenadas UTM:

VÉRTICE	UTM (sul)	UTM (oeste)
A	713	7237,5
B	713	7242

C	733	7249
D	733	7242



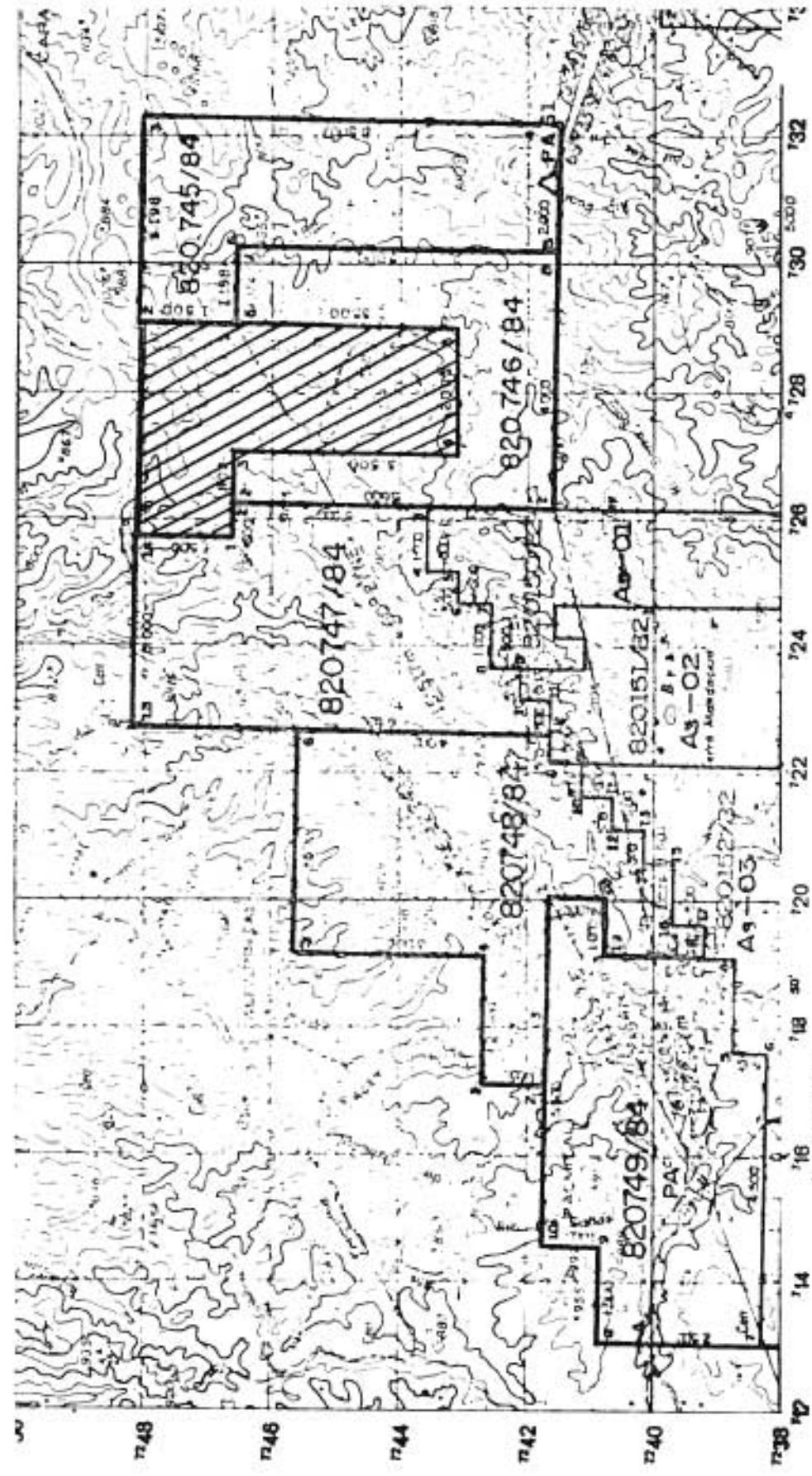
A área está coberta por cinco pedidos de pesquisa protocolizados no DNPM em 05.10.84, sob os n°s 820.745/84 a 820.749/84 (fig. 2). Parte da área nº 820.746/84 (hachurada), que engloba o Granito Banhado, está requerida pela DOCEGEO.

Conta-se na área com mapas geológicos na escala 1:100.000 (Projeto Leste do Paraná, 1977 - Folha Apiaí) e 1:25.000 (Projeto Capivari Pardo, 1984) e mapas aerocintilometríticos na escala 1:50.000 (Projeto Serra do Mar Sul, 1978). São disponíveis ainda dados de trabalhos geológicos que englobam parte da área (Fairchild, 1982; Lopes, 1982; Schööl, 1982; Marini, 1967 e 1970; Bigarella e Salamuni, 1964). Dispõe-se também de fotografias aéreas nas escalas 1:25.000 (Aerodata, 1980) e 1:60.000 (USAF, 1966) e mapas topográficos nas escalas 1:100.000 (SGE) e 1:50.000, 1:20.000 e 1:10.000 (COMEC, 1976).

### 3 - GEOLOGIA DA ÁREA

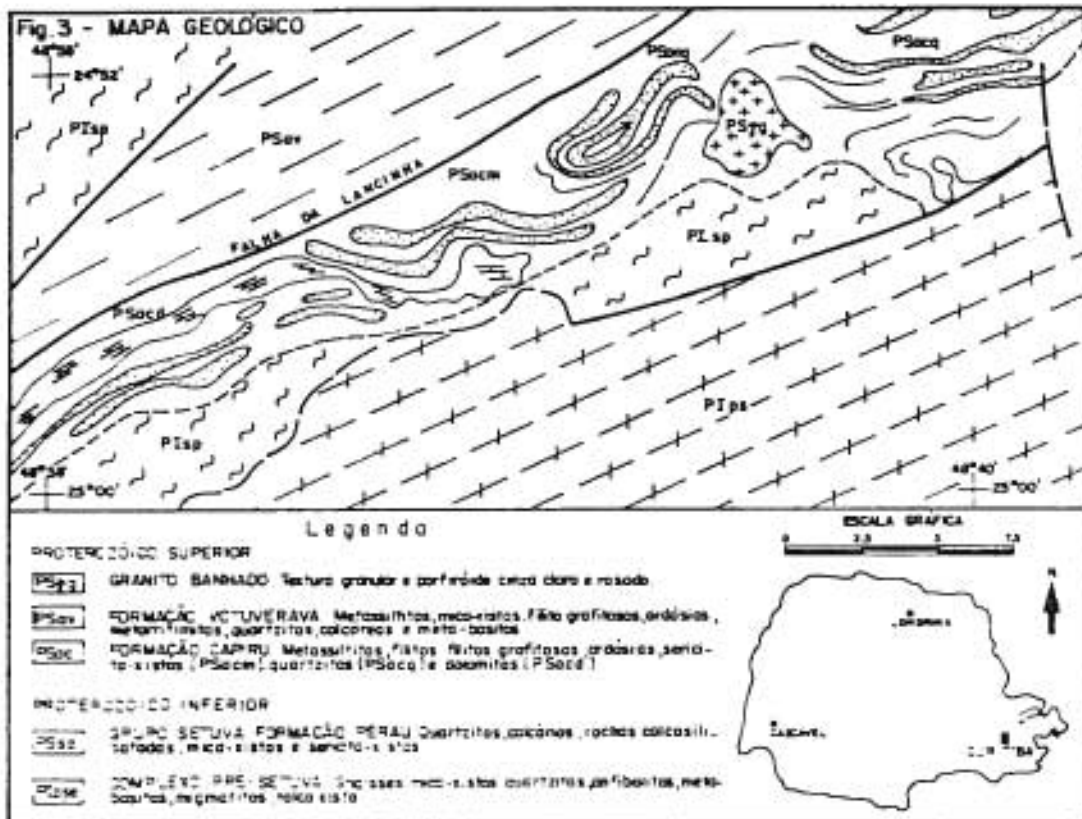
A geologia da área está representada pelas rochas do Complexo Pré-Setuba, dos grupos Setuba e Açungui e do Granito Banhado que apresentam registro de evolução polifásica e

Fig. 2 - MAPA DE SITUAÇÃO LEGAL



Escala 1:100.000

também policíclica em seus aspectos metamórficos, deformativo, magmático e migmatítico. O elemento estrutural de destaque na região é a Falha da Lancinha (fig. 3).



O Complexo Pré-Setuva, de idade Proterozóica média a inferior e, também, possivelmente Arqueana, é objeto de muito controvérsia, sendo estratificamente designado de Formação Setuva, Grupo Setuva e Complexo Pré-Setuva (Marini, 1970; Ebert, 1971; Batalha et. al., 1981; Schööl et. al., 1980 e Fritzsons et. al., 1982). Fritzsons et. al. (1982) o separa do Embasamento Cristalino através de fotografias aéreas, onde este último mostra-se bem estruturado, distinguindo uma grande variedade de termos litológicos via de regra estruturados e metamorfizados em alto grau. Compreendem migmatitos estromáticos, "augen" gnaisses, gnaisses graníticos, gnaisses fitados, rochas metaultrabásicas, metabasitos, anfibolitos e quartztitos.

A "unidade" Setuba, de idade proterozóica média a inferior (Batolka Júnior et. al., 1981), devido ao seu potencial econômico tem sido alvo de inúmeros estudos (Bigarella e Salamuni, 1956; Marini et. al., 1967 e 1970; Ebert, 1971; Schööl, 1980 e 1982; Popp et. al., 1979 e Fritzsons et. al.,

1982). Fritzsons et. al. (1982) em estudos nas regiões de Campo Largo, Bateias, Rio Branco do Sul, Tigre e Anta Gorda, optaram pela elevação de formação a Grupo Setuba proposta por Popp et. al. (1979), com a seguinte subdivisão: Formação Perau (basal), composta por quartzitos, quartzo-xistos, calcoxistos, rochas calcossilicatadas e mármore; e a Formação Água Clara com calcoarenitos, metacalcários micríticos, metacalcissiltitos e calco-xistos.

O Grupo Açuungui, do Proterozóico Superior, representado pelas formações Votuverava e Capiru é uma seqüência ectinítica de grau metamórfico incipiente a fraco, em boa parte, injetada por granitóides. A primeira, constitui-se de metassiltitos, micaxistos, filitos grafitosos, ardósias, metaritmitos, quartzitos e metabasitos e a segunda por metassiltitos, filitos, filitos grafitosos, ardósias, quartzitos e dolomitos; são consideradas como contemporâneas, sendo a Formação Capiru depositada em ambiente de águas rasas e a Votuverava em ambientes mais profundos (Schööl et. al., 1980). Segundo Soares e Fiori, 1985 (comunicação verbal) esta seqüência apresenta um complexo quadro estrutural e ressaltam tratar-se de: 1) uma seqüência geossinclinal; 2) aloctone, tanto em relação a seu embasamento como entre os diversos pacotes que a compõem; e 3) afetada por no mínimo duas fases de dobramentos com superposição de falhas de cavalgamento (nappes). Tais processos possivelmente introduziram modificações que dificultam a reconstituição das seqüências e seu empilhamento estratigráfico, embora as unidades maiores possam ser individualizadas. Provavelmente por essas razões, que a aplicação direta de critérios estratigráficos não é simples e tem levado diversos autores (Bigarella e Salamuni, 1966; Marini et. al., 1967; Marini, 1970; Schööl, 1982; Lopes, 1982; etc) a apresentar diversas colunas estratigráficas para o Grupo Açuungui.

O Granito Banhado, aflorante na localidade de Jobar, possui área aflorante de 7 km<sup>2</sup> e apresenta duas fácies: a biotita monzogranito porfirítica e a monzogranito granular cataclasada (Santos e Felipe, 1980). O contato é intrusivo, brusco, com auréola de metamorfismo de contato. Fritzsons Jr. e Biondi (1983), numa síntese sobre os granitos do Paraná classificam o corpo em tardí a pós-tectônico, alóctone.

## 4 - ATIVIDADE E MÉTODOS DE TRABALHO

MINERÓPOLIS  
Minerais do Paraná S/A.  
BIBLIOTECA

O reconhecimento de camadas de fosforita ou de rocha fosfática sedimentar é reconhecida universalmente como muito difícil. Esse fato deve-se a três fatores principais 1) ao tamanho dos nódulos ou "pellets" da ordem de frações de mm; 2) a variabilidade de espessura das camadas de fosforita, desde alguns cm até vários metros e; 3) a sua grande solubilidade. Os guias exploratórios utilizados são a identificação de áreas de sedimentação marinha em seqüências transgressivas e nestas a delimitação de zonas com níveis de chert, diatomita marinha e/ou folhelhos escuros e rochas carbonatadas. A frequente associação com urânio pode favorecer a utilização de métodos cintilométricos. A identificação se faz por via química, atacando a amostra com ácido (sulfúrico, nítrico ou clorídrico), diluído a menos de 20% e posterior adição de molibdato de amônia. A reação que se produz dá uma cor amarela brilhante. Em função desses aspectos as seguintes atividades e métodos de trabalho foram empregados:

### a) Litogegeoquímica Sistemática

Nesta etapa foram percorridas drenagens e estradas obtendo-se um espaçamento entre os perfis litogegeoquímicos variando de 250 a 750 metros (anexo 1). A densidade de testes litogegeoquímicos para cada drenagem ou estrada percorrida foi variável, por estar sujeita a maior ou menor quantidade de afloramentos. Nas áreas com boas exposições foram efetuados testes espaçados entre 10 a 20 metros, adensando-se nos locais com reações positivas (1 a 5 metros).

Os dados físicos desta etapa perfazem 196 km de drenagem e estradas percorridas com a coleta de 221 amostras com reação positiva para fosfato (anexo 1).

### b) Levantamento de Perfis Geológicos

Nesta etapa foram levantadas 20 seções geológicas totalizando 58 km percorridos com a descrição de 313 afloramentos (anexo 2). A finalidade principal buscada com o le-

vantamento de perfis geológicos foi a de detectar e delimitar zonas com predomínio de determinadas associações litológicas (zonas com domínio de rochas geradas por precipitação química, ambientes redutores, etc) e suas relações com as áreas e/ou pontos com teores anômalos de fosfato (associações preferenciais).

c) Utilização de Métodos Cintilométricos

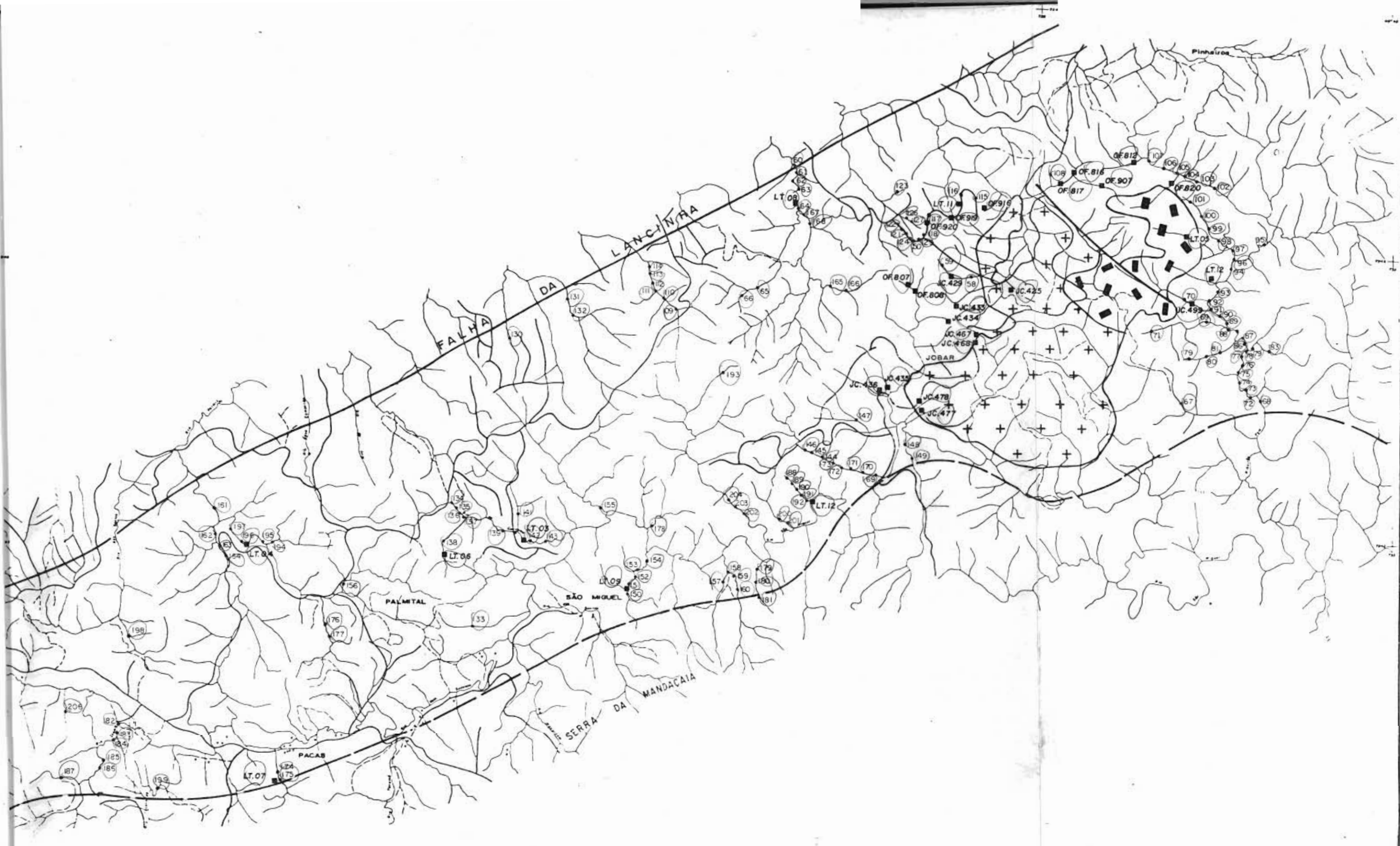
A freqüente associação de fosfato sedimentar com urânio permite o uso de métodos cintilométricos na prospecção (aerocintilometria, terrestre e logs de sondagens), como a exemplo da descoberta de fosforita na Tanzânia em 1956 (E & MJ 1984).

Os dados utilizados nesta atividade foram os mapas aerocintilométricos do Projeto Serra do Mar Sul (DNPM, 1978); a não disponibilidade de cintilômetros impossibilitou a execução de radiometria terrestre.

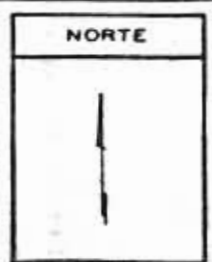
Ressalta-se que os mapas radiométricos utilizados mostram grande distorção quando superpostas em bases cartográficas oficiais (IBGE e DSG). A única forma para a eliminação parcial da distorção verificada foi o ajuste através de elementos geográficos (rios, estradas, etc) e de corpos graníticos, normalmente bem mapeados pela aerocintilometria devido ao seu alto "clark" em minerais radioativos (potássio, urânio e tório). Levou-se também em consideração na interpretação dos resultados os inconvenientes normalmente apresentados pela aerocintilometria, tais como, efeito de massa, contatos litológicos e zonas laterizadas, responsáveis pela geração de falsas anomalias.

d) Análises Químicas e Petrográficas

Os dados físicos de produção perfazem 221 dosagem para  $P_2O_5$  pelo método de fluorescência de raio X e a descrição de dez lâminas petrográficas. Outras vinte e seis lâminas petrográficas descritas do Projeto Capivari Pardo - Fase de Detalhamento foram também utilizadas.



## ESCALA GRÁFICA



## CONVENÇÕES

- 193 PONTO LITOGEOQUÍMICO ANÔMALO
-  DRENAGENS E ESTRADAS PERCORRIDAS
-  FALHA
-  FALHA INFERIDA

■ OF, JC, LT - LÂMINA PETROGRÁFICA

## **CONVENÇÕES GEOLÓGICAS**

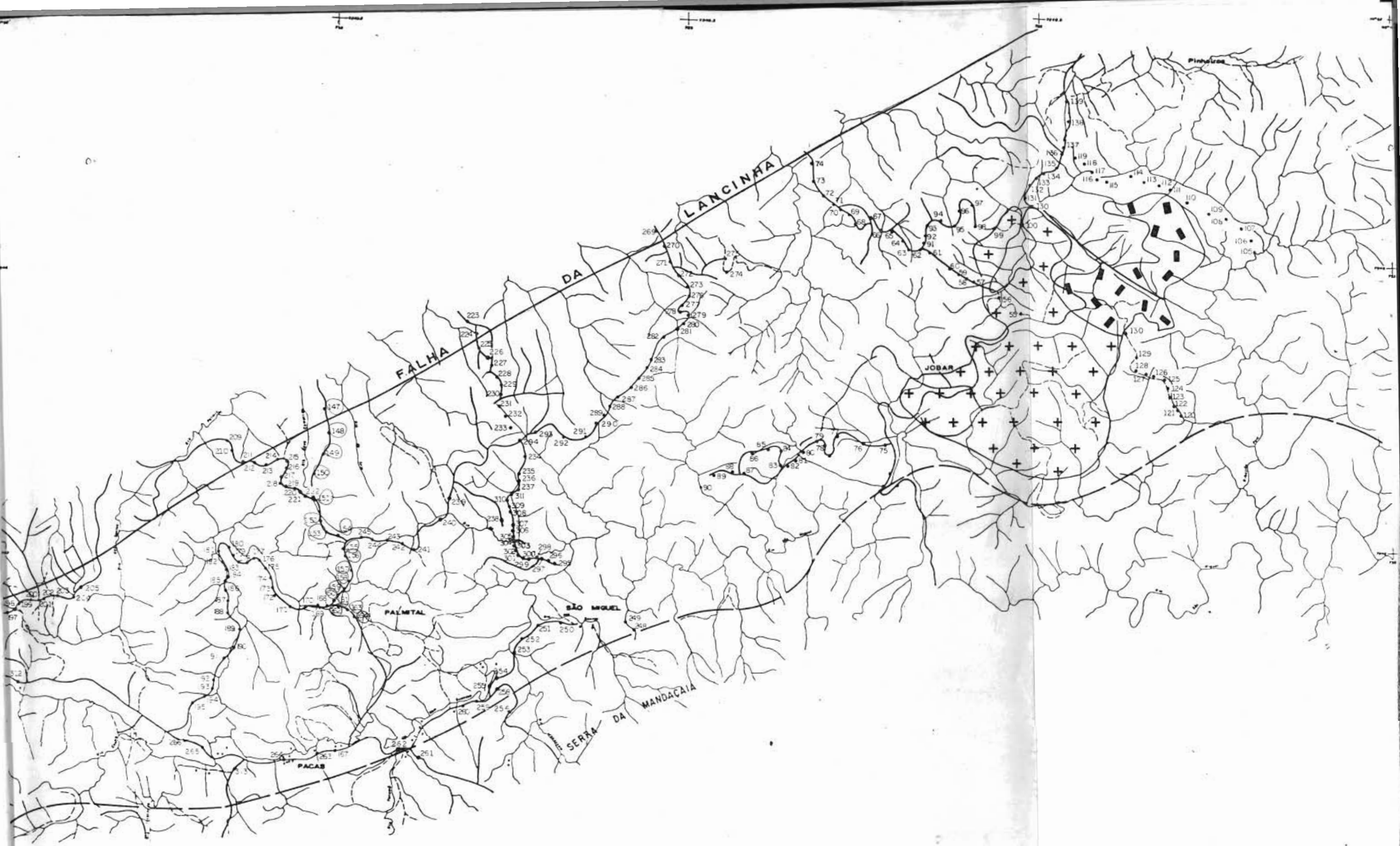


**GRANITO BANHADO**

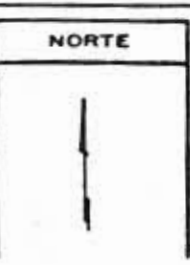
OBS. TODOS PONTOS TEM PREFIXO LT

**POSIÇÃO  
DA FOLHA**

**MINEROPAR**  
Minerais do Paraná S.A.



## ESCALA GRÁFICA



## CONVENÇÕES

 SEÇÃO GEOLOGICA  
 \* 190 AFLORAMENTO DESCrito  
 FALHA  
 FALHA INFERIDA

SEÇÃO GEOLOGICA

190 AFLC

— FALHA INELASTICA

## CONVENÇÕES GEOLÓGICAS



GRANITO BANHADO



AREA ESTUDADA

OBS: TODOS PONTOS TEM PREFIXO LT

POSIÇÃO DA FOLHA		
80-01-1	80-02-1	80-03-1
8-1	8-2	8-3
80-01-2	80-02-2	80-03-2
8-4	8-5	8-6
80-01-3	80-02-3	80-03-3
8-7	8-8	8-9

REVISTA DO PETRÓLEO

GEOP - GERÊNCIA DE OPERAÇÕES

#### **PROJETO FOSFORITA**

MAPA DE SECÕES E AFORAMENTO

**MINEIROPAR**  
Moçambique do Pará S.A.

P - GERÊNCIA DE OPERAÇÕES

PROGETTO EDSEORITA

PROGETTO FUS-ORIA

**MAPA DE SEÇÕES E AFLORAMENTOS**

## 5 - RESULTADOS OBTIDOS

Concentrações anômalas de fosforita condicionam-se à presença de características específicas do meio deposicional, superimpostas em determinadas seções da seqüência sedimentar. A litofácie mais comum é a associação da fosforita com folhelhos escuros, carbonáceos ou "mudstones com cherts" (ou outras rochas silicosas) assim como com rochas carbonatadas. Admite-se na literatura como sendo o reconhecimento dessa litofácie o meio ou o guia exploratório mais eficiente na procura de fosfatos dessa categoria. Deste modo, na análise e interpretação dos dados coletados, procurou-se distinguir e delimitar em planta as associações litológicas favoráveis ou não à fosfatogênese; as relações destas associações com as zonas mineralizadas e manchas cintilométricas foram os elementos utilizados no descarte ou seleção das áreas merecedoras de trabalho de detalhe. Os resultados obtidos através desta avaliação são abaixo detalhados.

### Associação Litológica I

Constitui-se pela coalescência de corpos lenticulares de arenitos esbranquiçados, de granulação fina a grosseira, mal classificada intercalada com pelitos amarelo acinzentados. Os corpos arenosos mostram contatos abruptos, de um lado, e transicionais de outro e espessuras variáveis desde 20 a mais de 100 metros; estruturas sedimentares são pouco visíveis, destacando-se raras cruzadas planar e acanaladas de médio porte e baixo ângulo. Os metapelitos estão representados por metassiltitos arenosos homogêneos, cinza claro a amarelados em transição para seqüências de metassiltitos com tonalidades claras e metargilitos cinza escuros em intercalações rítmicas centimétricas. Ocionalmente estes litotipos gradam para metafolhelhos carbonosos, cinza escuros, com espessuras métricas e rápida variação lateral. As estruturas sedimentares mais comuns são a estratificação plano paralela e rítmica. A distribuição em planta desta associação mostra formato de "bumerangue" com maior concentração dos corpos arenosos e maior espessura na porção central da área (anexo 3), cunhando-se para NE, quando então observa-se uma diminuição na

espessura e granulometria e um paulatino predomínio dos meta-pelitos. Nesta seqüência não foi constatada a presença de rochas carbonatadas, níveis de chert e valores radioanômalos. Os teores de  $P_2O_5$  detectados variam de 0,04 a 0,29 ppm.

Esta associação, provavelmente, representa o registro de uma fase regressiva no meio deposicional, com períodos intermitentes de grande afluxo de clásticos. A pouca percentagem de metassedimentos carbonosos atestam um ambiente dominantemente oxidante e a ausência de rochas geradas por processos químicos reflete alta energia do meio deposicional.

O potencial à fosfatogênese desta associação é considerado nulo.

#### Associação Litológica II

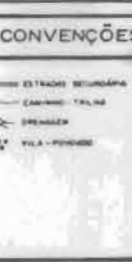
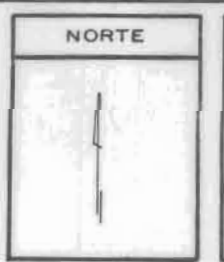
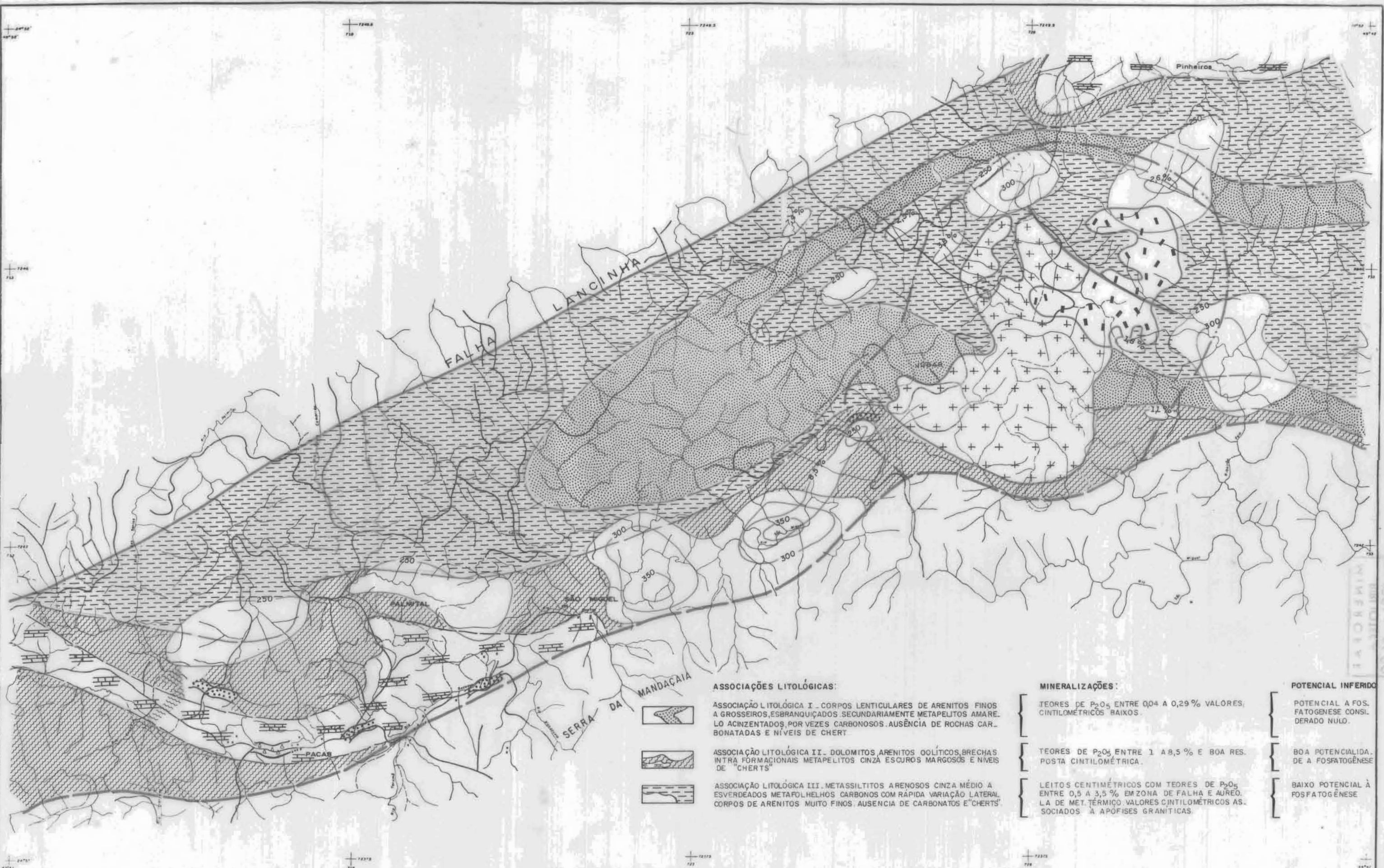
Esta associação compreende calcários dolomíticos, metapelitos, arenitos oolíticos e corpos pouco espessos de arenitos muito finos.

Os dolomitos apresentam composição química dolomítica constante com alto teor de magnésio e mostram-se homogêneos, granulação fina, equigranulares e coloração branca a cinza clara. Esporadicamente ocorrem brechas intraformacionais com seixos e blocos angulares dispostos caoticamente. Em direção ao Granito Banhado gradam para metafolhelhos e metamargas carbonosas, cinza escuras com intercalações de níveis de "cherts". As estruturas sedimentares mais comuns são estratificação paralela fina, cruzadas de pequeno porte e brechas intraformacionais. Estruturas estromatolíticas ocorrem em áreas próximas (CALFIBRA), em dolomitos correlacionáveis fotogeologicamente com os observados na área.

Os metapelitos compreendem metassiltitos, metargilitos e metafolhelhos carbonosos cinza escuros com laminação paralela fina, lenticular e ondulada.

Os arenitos oolíticos constituem finas camadas centimétricas a decimétricas, descontínuas, em contato discordante do tipo abrupto e erosivo, com metassiltitos. Sua ocorrência foi constatada desde a localidade de Pacas até a área situada a SW do Granito Banhado.

Os arenitos compreendem corpos pouco espessos com granulação fina; são friáveis e bem selecionados, ostentam to-



**ZONA ANÔMALA EM P<sub>2</sub>O<sub>5</sub>**  
ANOMALIA AEROCINTILOMÉTRICA  
ARENITO OOLÍTICO  
BRECHA INTRAFORMACIONAL

**CONVENÇÕES GEOLÓGICAS**

GRANITO BANHADO, COM DISCRIMINAÇÃO DE FÁCIES E AUREOLA DE METAMORFISMO TÉRMICO.  
ASSOCIAÇÕES LITOLOGICAS DISCRIMINADAS.  
FALHA  
FALHA INFERRIDA.

**POSIÇÃO DA FOLHA**

M-21-1-a	M-21-1-b	M-21-1-c
B-1	B-2	B-3
M-21-2-a	M-21-2-b	M-21-2-c
B-4	B-5	B-6
M-21-3-a	M-21-3-b	M-21-3-c
B-7	B-8	B-9

**MINEROPAR**  
Minerais do Paraná S.A.

**6V**

ADRIANÓPOLIS	GEOP - GERÊNCIA DE OPERAÇÕES
PARANÁ	PROJETO FOSFORITA
LIAS TADEU CAVE	
1:50.000	
DATA	08/05/85

**MAPA DE MULTI-ATRIBUTOS**

**3**

nalidades claras e praticamente são isentos de impurezas; ocorrem intercalados em íntima engranzagem de fácies com os dolomitos.

Considerações a respeito do ambiente deposicional desta associação são fornecidas pelos arenitos oolíticos e as brechas, estruturas típicas de águas agitadas. Da mesma forma, as estruturas estromatolíticas dão boas indicações acerca do ambiente de sedimentação. Marini e Bosio (1969) descrevem na região de Calfibra estromatolitos tipo SH e LLH (Logam, 1964), características de áreas dominadas por intermarés de praias abertas, onde a forte movimentação das águas inibe o crescimento de ligações laterais entre as estruturas ou removem-nas após a sua formação. Também Fairchild (1982) descreve a presença de estromatolitos colunares, aparentemente biasstromas associados a estromatolitos maiores, contendo micro-inconformidades e clastos intraformacionais, formados sob condições enérgicas de ação de ondas e períodos de dissecação, típicos de áreas dominadas por planície de marés, possivelmente da fácie de intermarés.

Os teores mais elevados de P<sub>2</sub>O<sub>5</sub> detectados na região estudada ocorrem na área de domínio desta associação, em metapelitos margosos e carbonosos, situados a SW do Granito Banhado. Os teores de P<sub>2</sub>O<sub>5</sub> variam de 2 a 8,5% e se distribuem numa área de aproximadamente 4 km<sup>2</sup>; além disso esta área apresenta uma boa resposta cintilométrica (anexo 3).

Esta associação é que mostra as melhores condições à acumulação de fosforita em razão de: 1) reduzida taxa de depósitos de terrígenos; 2) presença de litotipos gerados em clima quente e com presença de vida abundante (estromatolitos e sedimentos carbonosos); 3) ambiente deposicional (associação com sub-ambientes de baixa energia); e 4) teor e extensão da área mineralizada.

### Associação Litológica III

Constitui-se predominantemente por metapelitos e corpos pouco espessos de arenitos muito finos, raramente médios a grosseiros. Os metapelitos estão representados por metasiltitos e metargillitos de coloração cinza esverdeada a cinza

médio com passagens métricas a decamétricas descontínuas de termos carbonosos. Estruturas sedimentares são pouco evidentes, ocorrendo no geral intercalações milimétricas descontínuas de leitos mais pelíticos de coloração escura e leitos mais psamíticos com tonalidades claras (foliação?). Petrograficamente constituem-se principalmente de minerais micáceos e subordinadamente por quartzo. A textura é lepidoblástica a granolepidoblástica. Os corpos de arenitos muito finos exibem coloração esbranquiçada, são homogêneos e friáveis, ocorrendo sob a forma de lentes com espessuras variáveis, normalmente inferiores a 10 metros, em contato transicional com os metapelitos. Esta associação não encerra rochas carbonáticas ou margas.

As mineralizações de fosfato detectadas associam-se aos litotipos mais carbonosos, são muito localizadas (centimétricas) e apresentam teores de  $P_2O_5$  entre 1 a 4% e somente um valor com 7,2%. Detalhamentos expeditos realizados nas áreas portadoras dos teores mais significativos, com espaçamento de 1 x 1 metro acusaram valores inferiores a 1% (LT-207 a LT-215). O caráter localizado dessas mineralizações é também confirmado em perfis petrográficos realizados nas áreas com teores mais elevados.

Vale salientar que essas áreas e/ou pontos anômalos situam-se preferencialmente, nas rochas afetadas pelo falhamento da Lanchinha e pelo metamorfismo de contato do Grani-to Banhado.

O potencial em fosfato desta associação é considerado baixo.

#### 5.1 - Fatores Gerais que Controlam à Ocorrência de Fosforita

Embora existam ainda vários pontos controversos acerca dos mecanismos responsáveis pela formação de acumulações de fosforita e dos processos diagenéticos ou epigenéticos envolvidos na sua evolução, alguns fatos fundamentais são de aceitação universal.

Depósitos de fosforita são tipicamente marinhos, sendo reconhecidos em sedimentos que vão do Pré-Cambriano ao

Holoceno. Os nódulos podem se formar no assoalho oceânico de algumas dezenas de metros de profundidade até cerca de ... 1.000 metros, em distintos ambientes geotectônicos: plataforma, miogeosinclinal e eugeosinclinal.

Depósitos modernos estão reconhecidamente em formação em várias partes do mundo, em áreas caracterizadas por uma taxa muito lenta de deposição clástica, em ambientes de águas relativamente rasas.

Os depósitos antigos são quase todos de origem marinha, de águas rasas, como atestado por carapaças calcárias de organismos com habitat de plataforma e remanescentes de algas recifais associados, estratificação cruzada, feições de abrasão sobre os nódulos e interdigitação dos níveis fosfáticos com arenitos characteristicamente de mar raso.

Nesse particular, os depósitos de fosfato se assemelham bastante aos calcários: na plataforma são menos espessos, compostos de grãos clásticos tais como oolitos e fósseis, ostentam estratificação cruzada, são mais carbonatados e menos argilosos. Em direção ao mar aberto ("miogeosinclinal"), as camadas de fosfato são mais argilosas, crescentemente carbonosas e piritosas - e gradam para "cherts". Essa variação faciológica é semelhante à encontrada em muitos calcários, onde as unidades graduam de bioclásticas e oolíticas próximo à linha de costa, para cores pretas e texturas micríticas bacia adentro.

O problema da origem coloca algumas questões sérias. São admitidas duas possibilidade:

- origem primária, por precipitação inorgânica a partir da água do mar;
- por substituição de rochas carbonatadas.

A precipitação inorgânica se dá em condições especiais, e é atualmente observada especialmente em climas quentes e em bordas, de bacias, em locais onde águas ascendentes profundas, carregadas de fosfato, fazem seu caminho nas adjacências de plataformas rasas. Verificou-se que o máximo de concentração de  $P_2O_5$  na água do mar ocorre a profundidades entre 30 e 500 metros.

Há hipóteses de que a presença de íons de magné-

sio é inibidora da precipitação de fosfato.

A origem por substituição dá-se por transformação metassomática de rochas carbonatadas (calcários). Vários estágios de substituição são possíveis.

Baseado em dados disponíveis sobre fosforitas nudulares ou peletizadas, Cool (1976) sugere a seguinte seqüência de eventos para explicar a sua origem:

1 - Afluxo de águas ricas em nutrientes, geralmente por ascensão, para dentro de uma bacia marinha rasa com uma reduzida taxa de deposição terrígena, e freqüentemente em regiões de clima quente.

2 - Desenvolvimento de vida abundante.

3 - Formação de sedimentos de fundo em ambiente anóxico e ricos em matéria orgânica.

4 - As águas intersticiais ricas em fósforo se formam abaixo da interface água - sedimento, lixiviando o fosfato de restos orgânicos. Precipitação direta de fosfato e/ou fosfatização de sedimento não fosfático ocorre nessas condições.

5 - Retrabalhamento de sedimento fosfático ocorre em resposta a mudanças no padrão de correntes ou no nível do mar. O material mais fino da matriz pode ser remobilizado nessas circunstâncias, gerando re-concentrações do sedimento para formar depósitos mais ricos.

De modo geral os depósitos de fosforita apresentam as seguintes características principais:

- Os maiores depósitos mundiais de fosfato são constituídos por fosforita nodular ou peletizada.

- Ocorrem associados a sedimentos que vão desde o Pré-Cambriano ao Holoceno.

- São depósitos marinhos, comumente associados a calcários e dolomitos.

- Via de regra estão associados a seqüências transgressivas, pois sua deposição está condicionada a situações em que se processa uma taxa reduzida de sedimentação clástica.

- O mineral mais comum é a francolita, isto é,

uma fluorapatita com ions de carbonato, geralmente em estado criptocristalino.

- Os teores de  $P_2O_5$  são extremamente variáveis, sendo comuns teores naturais da ordem de 25-30-40% de  $P_2O_5$ .

- Folhelhos escuros (marrom a pretos), ricos em hidrocarbonetos comumente estão associados às camadas de fosforita, juntamente com teores variáveis de material detritico.

- Camadas de "chert" também estão freqüentemente associadas aos depósitos de fosforita, às vezes na matriz dos "pellets" de fosfato mas, mais comumente na forma de camadas finas ou espessas, localizadas estratigráficamente próximo da fosforita - acima ou abaixo.

- Litofácies mais comum: associação da fosforita com folhelhos escuros, carbonáceos ou betuminosos, ou "mudstones", com "cherts" (ou outras rochas silicosas), assim como com rochas carbonatadas.

- As rochas carbonatadas associadas, em alguns casos, apresentam estruturas estromatolíticas (marcas de atividades de algas).

- Alguns depósitos de fosforita (ex.: Jhamartrotra-Índia) estão confinados dentro de camadas dolomíticas com estrutura estromatolítica.

- Outros (ex.: Maton - Índia), estão confinados dentro de orto-quartzitos que graduam para calcarenitos, sota postos a um quartzito jasperóide ("cher").

- Muito importante na geração de condições de exploração dos depósitos é a atuação dos processos de intemperismo sobre a rocha fosfática, de forma a solubilizar o material cimentante dos "pellets": carbonatos, sílica ("chert" ou quartzo criptocristalino).

As camadas de fosforita (pellets), originalmente inconsolidadas, tornam-se duras quando sujeitas à litificação. A alteração também transforma a pirita finamente disseminada em óxidos de ferro e reduz a quantidade de matéria orgânica, mudando a cor preta original para marrom ou cinza. O material também pode assumir um aspecto poroso ou pulverulento.

- A espessura das camadas de fosforita pode variar desde alguns centímetros até vários metros.

Na região estudada, utilizando os critérios acima definidos pode-se estabelecer o seguinte quadro relativo a ocorrência de fosfato sedimentar.

### 1) Ambiente Deposicional

Os processos de deformação e metamorfismo que afetaram a Formação Capiru tornam extremamente difícil o reconhecimento detalhado dos seus vários ambientes deposicionais. Entretanto diversas feições tais como a presença estromatólitos e camadas de dolomitos, arenitos oolíticos, brechas intraformacionais e depósitos de óxido de ferro permitem extrações sobre os macroambientes vigentes na época.

A ocorrência de estromatolitos é tida pela unanimidade dos autores como sendo formados em regiões dominadas por planície de marés (zona fótica). Os estromatolitos algáceos (Collenias) encontrados nos dolomitos da Formação Capiru classificam-se no tipo SH e LLH de Logam (in Marini e Bósio, 1969) e são considerados (Marini e Bósio, 1969 e Fairchild, 1982) como formados em regiões de intermarés de praias abertas; a presença de micro descontinuidades indicam episódios de exposição sub-aérea. Informações do meio deposicional são também fornecidas pelos oolitos e brechas intraformacionais; típicas de águas rasas fortemente agitadas, isto é, ambientes costeiros. Também a presença de depósitos de hematita (Superior Type segundo Wolf, 1976) evidenciam um paleo ambiente de águas rasas, bem arejadas em ambientes costeiros. Vale ressaltar que rochas dolomíticas são típicas de águas rasas.

### 2) Considerações sobre o Clima e Atividade Biológica

A vigência de clima quente e úmido é sugerida pela total ausência de minerais instáveis nos quartzitos e pela presença das espessas camadas de dolomitos. São também argumentos favoráveis a pouco percentagem de feldspatos nos sedimentos clásticos, os depósitos ferríferos e à ocorrência de estromatolitos, típicos de regiões tropicais a sub-tropicais.

Provas da existência de intensa atividade biológica são dadas também pelos estromatolitos como pelos metapelitos carbonosos e grafíticos da Formação Capiru.

### 3) Considerações sobre as Mineralizações

As mineralizações posicionadas na área domínio das associações litológicas I e II são pouco expressivas quer pelo seu aspecto local (centimétricas) como pelos teores encontrados, no geral não superiores a 3%. Provavelmente essas características ocorrem em função de vários aspectos: 1) pouca persistência lateral das litofácies favoráveis a fosfatogênese; 2) ausência de litofácies geradas por precipitação química; e 3) domínio de sedimentação clástica. Outros dois aspectos desfavoráveis são o posicionamento das zonas anômalas em áreas afetadas pela Falha da Lanchinha e pelo metamorfismo de contato do Granito Banhado: no primeiro caso em razão do aspecto estrutural (deslocamento de camadas, zonas propícias a alteração, etc) e no segundo pelo fato de que as anomalias possam ter sido geradas por concentração local a partir de rochas com fosforita disseminada pelo efeito térmico do Granito Banhado. A presença de cristais de apatita em maior porcentagem ocorre nesta área, ao passo que em outros locais as mineralizações, aparentemente, são de caráter coloidal ou cripto-cristalina.

As mineralizações situadas na área de domínio da associação litológica I são as que apresentam mais interesse quer pelos seus teores e dimensões como pelo ambiente deposicional (marinho raso) que possibilitou a presença de atividade biológica intensa (estromatólitos e sedimentos carbonosos), e a deposição de rochas geradas por processos químicos (dolomitos, margas e "cherts"). Entretanto vale ressaltar que, a priori, esta associação não constitui uma zona em que se processou uma reduzida taxa de deposição clástica (anexo 4). A observação de mapas regionais indica tratar-se de uma região de transição entre áreas com domínio de sedimentação clástica /química. A distribuição dos depósitos de origem química, num perfil NE-SW, tem início na localidade de Pacas, alcançando maior representatividade na área de Tunas - Campo Largo.



ESCALA GRÁFICA	NORTE	CONVENÇÕES	CONVENÇÕES GEOLÓGICAS	POSIÇÃO DA FOLHA	MINEPAR Minerais do Paraná S.A.
0 3000 2000m					

**CONVENÇÕES GEOLÓGICAS**

- AU RÉOLA DE METAMORFISMO DE CONTATO.
- FALHA
- FALHA INFERIDA

**POSIÇÃO DA FOLHA**

00-00-0	00-00-0	00-00-0	00-00-0
0-0	0-0	0-0	0-0
00-00-0	00-00-0	00-00-0	00-00-0
0-0	0-0	0-0	0-0
00-00-0	00-00-0	00-00-0	00-00-0
0-0	0-0	0-0	0-0

**MINEPAR**  
Minerais do Paraná S.A.

**GEOP - GERÊNCIA DE OPERAÇÕES**

**PROJETO FOSFORITA**

## 6 - CONCLUSÕES E RECOMENDAÇÕES

Com base no exposto as seguintes conclusões e recomendações podem ser emitidas:

- A zona anômala posicionada a SE do Granito Banhado é que apresenta as melhores perspectivas de conter concentrações econômicas de fosfato sedimentar. Esta favorabilidade está representada pelos teores e dimensões das mineralizações detectadas e pela presença de condicionantes ambientais, climáticas e biológicas favoráveis à fosfatogênese.

- Apesar dos diversos inconvenientes apresentados, a utilização dos dados aerocintilométricos disponíveis constitui uma ferramenta de boa resolução na seleção de áreas potenciais, principalmente quando integradas as técnicas normalmente utilizadas na prospecção de fosforita. Por consequência, a utilização de cintilometria terrestre deverá também apresentar bons resultados em trabalhos de detalhe.

- A "bacia" Capiru mostra uma história evolutiva favorável à fosfatogênese.

Recomenda-se:

- Execução de detalhamento geológico da área posicionada a SW do Granito Banhado, estendendo-se os trabalhos de prospecção na zona com valores aerocintilométricos anômalos que engloba parte desta área.

- Execução de um programa de avaliação regional para a pesquisa de fosfato na Formação Capiru, independentemente dos resultados a serem obtidos na área selecionada. Destaca-se que 80% da faixa aflorante da Formação Capiru não se encontra coberta por pedidos de pesquisa.

## BIBLIOGRAFIA

- ALMEIDA, FERNANDO FLÁVIO DE & HASUI, YOCITERU. O Pré-Cambriano do Brasil. São Paulo, Edgard Blücher, 1984. 378 p.
- BATOLLA JR. FERNANDES et alli. Projeto Leste do Paraná, Folha Apiaí. Brasília. DNPM/DGM, 1978 - 5v.
- BIGARELLA, J. J. et alli. Geologia do Pré-Devoniano e Intrusões Subseqüentes da Porção Oriental do Estado do Paraná. Boletim Paranaense de Geologia nos 23 a 25, Curitiba. 1967. 347 p.
- COOK, P. J. Petrology and Geochemistry of the Phosphate Deposits of Northwest Queensland, Austrália. Economic Geology 67 (8): 1193. 1972.
- DRIESE, S. G. & DOT J. R. H. Model for Sandstone - Carbonate "Cyclo Thems based on upper Members of Morgan Formation (Middle Pennsylvanian of Northern Utah and Colorado. Bulletin of the American Association of Petroleum Geologists. Tennessee, 68 (5): 574-597. 1984.
- EICHLER, J. Origin of the Pre-Cambrian Banded Iron Formations. In: Handbook of Stratabound and Ore Deposits, Wolf (ed). New York, 1976. 173 p.
- EMIGH, GEORGE D. Phosphate Rocks. In: Industrial Minerals and Rocks. American Institute of Mining, Metallurgical and Petroleum Engineers Inc., New York, 1975. p. 935-962.
- FAIRCHILD, THOMAS R. New Stromatolites from the upper Pre-Cambrian Açungui Group, Eastern Paraná, Brasil, and their Potencial Stratigraphic Use. Instituto de Geociências, Universidade de São Paulo, 1982 - 13:43-134.

FRITZSONS, O. et alli. Projeto Capivari-Pardo - Verificação de Anomalias Geoquímicas nas áreas Capivari-Pardo e antifórmico do Setuba, MINEROPAR, Curitiba, 1985 - 4v.

FRIEDMAN, G. M. Depositional Environments in Carbonate Rocks. Society of Economic Paleontologists and Mineralogists, Special Publication nº 14, Tulsa, 1969. 209 p.

FRIEDMAN, G. M. & SANDERS, J. E. Principles of Sedimentology, John Wiley & Sons, Colúmbia - 1978. 769 p.

HARVEY, BLATT et alli. Origim of Sedimentary Rocks. New Jersey, M. L. Macbee, 1980. 767 p.

HECKEL, P. H. Reconigition of Ancient Shallow Marine Environments. In Recognition of Ancient Sedimentary Environments. Rigby & Hamblin, Society of Economic Paleontologists and Mineralogists, Special Publications, nº 16. Dallas. 1972.

LOPES, OMAR FERREIRA. Compatimentação Paleogeográfica, Faciologia e Estratigráfica em Terrenos do Grupo Açuengui da Região Tigre/Colônia Marquês de Abrantes, Município de Cerro Azul e Bocaiúva do Sul. In: Simpósio Regional de Curitiba, 3, Curitiba, SBG. Núcleo São Paulo, 1981. v.4, p. 148-155.

MARINI, ONIRO JOÃO. Geologia da Folha de Rio Branco do Sul. Rio Claro, Faculdade de Filosofia, Ciências e Letras, 1970. 190 p. Tese de Doutorado, Faculdade de Filosofia, Ciências e Letras de Rio Claro.

MARINI, ONIRO JOÃO & NIVALDO JOSE BÓSIO. Estromatólitos algáceos em dolomitos do Grupo Açuengui. In: Ciência e Cultura, São Paulo, 1969, 21 (2): 219-220.

MAYNARD, J. B. Geochemistry of Sedimentary Ore Deposits. New York, Springer-Verlag, 1983. 305 p.

PROJETO Serra do Mar Sul, Santa Catarina - Paraná: Relatório final. Rio de Janeiro, GEOPTO, 1978. 4 v.

READING, H. G. et alli. Sedimentary Environments and Fácies,  
H. G. Reading, London, 1978. 545 p.

SELLEY, RICHARD C. Ancient Sedimentary Environments and their  
sub-surface diagnosis, Chapman & Hall, London. 1977. 284 p.

SHÖOL, WALTER U. Geologia do Grupo Açuengui na Região a Nor-  
deste de Rio Branco do Sul, PR. In: Simpósio Regional de Cu-  
ritiba, 3, Curitiba, SBG. Núcleo São Paulo, 1981. v.4. p.  
155-170.

SLATT, R. M. Continental Shelf Topography, key to understand-  
ing Distribution of Shelf Sand-ridge deposits from Creta-  
ceans, Western Interior Seaway. Bulletin of the American As-  
sociation of Petroleum Geologists. Tulsa, 68 (9): 1107-1120.  
1984.

SMITH, D. L. Transition from deep to shallow water carbona-  
tes, Paine Member, Lodgepole Formations, Central Mountain.  
Deep Water Carbonate Environments. Society of Economic Pa-  
leontologists e Mineralogists, Special Publication, Oklaho-  
ma. n°: 25. 1977.

TANZANIAN Phosphate Operations at 100.000 - mt/yr rate. Engi-  
neering and Mining Journal. New York. 185 (2): 16 Fev. 1984.



GEOLAB

DIVISÃO DE LABORATÓRIOS DA

GEOSOL - Geologia e Sondagens Ltda.

MINERALS  
Minerais do Paraná S.A.  
BIBLIOTÉCA

BOLETIM DE ANÁLISE

N.º 55.520

CLIENTE: Minerais do Paraná S.A. - MINEROPAR

(S/Ref.: MEMO 12/85)

(N/Ref.: 69/006-5)

PERÍODO: Determinação de P<sub>2</sub>O<sub>5</sub> por Fluorescência de Raios-X em amostras de rocha.

Setor: GEOP

Área : Fosforita

AMOSTRAS	P <sub>2</sub> O <sub>5</sub>
nºs	%
52	0,29
53	0,59
54	0,15
55	0,21
56	0,13
57 = 58	0,34

Relatório, 13 de março de 1985.

Luzia Fonseca Cavalcanti  
CRQ n.º 02300278

CEC.

Análises geoquímicas e ensaios químicos para minérios, solos, rochas e águas.  
Espectrografia Ótica, Plasma ICP, Absorção Atómica, Fluorescência de Raios X e Vias Úmidas

Rua das Flores, 140 - Rio Almonte, 200 - Telefone: (031) 221.1111 - Telex: (031) 1.206 - Região: CRQ-11 n.º 2016



GEOLAB

DIVISÃO DE LABORATÓRIOS DA  
GEOSOL - Geologia e Sondagens Ltda.MINEROPAR  
Minerais do Paraná S/A.  
BIO IOTÉCA

BOLETIM DE ANÁLISE

N.º 55.533

CLIENTE: Minerais do Paraná S.A. - MINEROPAR

(S/Ref.: MENO 12/85)

(N/Ref.: 69/006-5)

PERÍODO: Determinação de P<sub>2</sub>O<sub>5</sub> e Cr por Fluorescência de Raios-X em amostras de rocha.

Setor: GEOP

Área : Fosforita

AMOSTRAS nºs	P <sub>2</sub> O <sub>5</sub> %	Cr ppm
LT - 58	0,57	-
59	0,45	-
60	0,44	-
61	0,36	-
62	0,21	-
63	0,03	-
64	7,4	-
65	0,11	-
66	0,11	-
67	0,1	-
68	0,1	-
69	0,1	-
70	0,1	-
71	0,12	-
72	0,07	-
73	0,13	-
74	0,12	121
75	0,22	-
76	0,12	-
77	0,12	-
78	0,12	-
79	0,12	-
80	0,12	-
81	0,12	-
LT - 82	0,12	500

Belo Horizonte, 13 de março de 1985.

*Marcelo Ponceca Cavalcanti*

CRQ II N.º 02800278

CRC.

Análises geoquímicas e ensaios químicos para minérios, solos, rochas e águas  
Espectrografia Ótica, Plasma ICP, Absorção Atómica, Fluorescência de Raios X e Vila Úmida.

Laboratório em Belo Horizonte - MG - Rua Almores, 200 - Telefone (031) 221-7566 - Telex (031) 11766 - Reg. no CRQ-II n.º 278



## INSTITUTO DE TECNOLOGIA DO PARANÁ

MINEROPAR - RESULTADOS ANALÍTICOS

## PROJETO/SETOR GEOP / FOSFORITA

MATERIAL RX

LOTE 01 / 85

GRANULOMETRIA - 200

ABERTURA Esg. Min.

MÉTODO Gravim.

Data	Entrada	Prep.	Abertura	Dosagem	Saida
	18/01/85				25/01/85

ELEMENTOS - CONC: %

Nº CAMPO	Nº LAB.	P <sub>2</sub> O <sub>5</sub>
	Branco	
LT-52	ABM-764	1,97
53	765	1,23
54	766	10,75
55	767	0,60
56	768	0,21
LT-57	ABM-769	0,37
	ACM 01	100% P <sub>2</sub> O <sub>5</sub>



CLIENTE: Minerais do Paraná S.A. - MINEROPAR

(S/Ref.: MEMO 12/85)

(N/Ref.: 69/006-5)

PESQUISA: Determinação de P<sub>2</sub>O<sub>5</sub> e Cr por Fluorescência de Raios-X em amostras de rocha.

Setor: GEOP

Área : Fosforita

AMOSTRAS	P <sub>2</sub> O <sub>5</sub> %	Cr ppm
nºs		
LT - 83	0,15	-
84	0,06	-
85	0,07	-
86	0,47	-
87	0,13	-
88	0,17	-
89	0,10	-
90	0,41	180
91	0,09	-
92	0,06	-
93	0,12	-
94	0,13	-
95	0,07	-
96	0,07	-
97	0,07	-
98	0,05	-
99	0,12	-
100	1,3	-
101	0,16	200
102	0,04	-
103	0,14	-
104	0,14	-
105	0,14	-
106	0,22	-
107	0,33	-
108	0,35	-
LT - 109	0,07	-

Belo Horizonte, 13 de março de 1985.

Analista Físico Químico  
CRQ II N.º 02300278

CRC.

Analises geoquímicas e ensaios químicos para minérios, solos, rochas e águas  
Espectrografia Ótica, Plasma ICP, Absorção Atómica, Fluorescência de Raios X e Vía Úmida.

Laboratório em Belo Horizonte, MG - Rua Aimorés, 200 - Telefone (031) 221-5566 - Telex (031) 1796 - Reg. no CRQ-II n.º 2036



N.º 55.535

CLIENTE: Minerais do Paraná S.A. - MINEROPAR

(S/Ref.: MEMO 12/85)

(N/Ref.: 69/006-5)

PERÍODO: Determinação de  $P_2O_5$  por Fluorescência de Raios-X em amostras de rocha.

Setor: GEOP

Área : Fosforita

AMOSTRAS	$P_2O_5$
nºs	%
LT - 110	0,06
111	0,11
112	0,08
113	0,66
114	0,11
115	1,35
116	0,85
117	0,68
118	0,77
119	0,25
120	2,5
121	1,4
LT - 122	0,67

Belo Horizonte, 13 de março de 1985.

  
Mauricio Pimentel Lutu  
CRQ-II n.º 02300278

CRC.

Análises geoquímicas e ensaios químicos para minérios, solos, rochas e águas  
Espectrografia Ótica, Plasma ICP, Absorção Atómica, Fluorescência de Raios X e Vias Úmida



N.º 55.945/946

CLIENTE: Minerais do Paraná S.A. MINEROPAR Setor: GEOF (S/Ref.: MEMO 26/85)  
 MÉTODO: Determinação de  $P_2O_5$  por Fluorescência de Raios-X em amostras de rocha.

AMOSTRAS nºs	$P_2O_5$ %	AMOSTRAS nºs	$P_2O_5$ %
LT - 123	0,54	LT - 148	0,14
124	0,36	149	0,12
<u>125</u>	<u>3,3</u>	150	0,07
126	0,81	151	0,11
127	0,25	152	0,16
128	0,54	153	0,10
129	0,05	154	0,11
130	0,53	155	0,12
131	0,11	156	0,69
132	0,07	157	0,31
133	0,75	158	0,31
134	0,17	159	0,17
135	0,16	160	0,24
136	0,21	161	0,08
137	0,15	162	0,43
138	0,16	163	0,15
139	0,14	164	0,17
140	0,04	165	0,03
141	0,19	166	0,11
142	0,22	167	0,16
143	0,11	168	0,11
<u>144</u>	<u>3,1</u>	169	0,11
145	0,36	170	0,22
146	0,51	171	0,15
LT - 177	0,1	LT - 172	0,05

Belo Horizonte, 23 de abril de 1985.

Marcos Fonseca Cavalcanti

CAQ n.º 02300275

CRC.

Análises geoquímicas e ensaios químicos para minérios, solos, rochas e águas.  
 Espectrografia Ótica, Plasma ICP, Absorção Atómica, Fluorescência de Raios X e Vila Úmida



GEOLAB

## REVISIÓN DE LABORATORIOS

GEOSOL - Geologia e Sondagens Ltda

BOLETIM DE ANÁLISE

N.º 55.947/948

CLIENTE: Minerais do Pará S.A. MINEROPAR

Sector: GEOP

(S/Ref.: MEMO 26/85)

PERÍODO : Determinação de  $P_2O_5$  por Fluorescência de Raios-X em amostras de rocha.

Área : Fluorita (N/Ref.: 69/018-5)

ANOSTRAS	P <sub>25</sub> nºs	AMOSTRAS	P <sub>25</sub> nºs
LT - 173	0,09	LT - 198	0,07
174	0,07	199	0,07
175	0,10	200	<u>8,5</u>
176	0,07	201	<u>1,7</u>
177	0,05	202	0,54
178	0,12	203	0,17
179	0,09	204	0,08
180	0,13	205	0,83
181	0,23	LT - 206	0,10
182	0,21		
183	0,19		
184	0,13		
185	0,13		
186	0,19		
187	0,11		
188	0,09		
189	0,13		
190	0,15		
191	0,11		
192	0,11		
193	0,21		
194	0,27	Belo Horizonte, 23 de abril de 1985.	
195	0,16		
196	0,14		
197	0,17		

Belo Horizonte, 23 de abril de 1935.

GRQ 11 N.º 02300274

CRG.



N.º 56.349

CLIENTE: Minerais do Paraná S.A. MINEROPAR Setor: GEOP (S/Ref.: MEMO 36/85)  
Área : Fosforita (N/Ref.: 69/023-5)

PÉRIODO: Determinação de P<sub>2</sub>O<sub>5</sub> por Fluorescência de Raios-X em amostras de rocha.

AMOSTRAS nºs	P <sub>2</sub> O <sub>5</sub> %
LT - 207	0,30
208	0,25
209	0,13
210	0,17
211	0,19
212	0,39
213	0,57
214	1,24
215	1,15
216	1,27
217	1,56
218	1,71
219	1,11
220	0,40
LT - 221	1,31

Belo Horizonte, 15 de maio de 1985.

Marcelo Fonseca Cavalcanti  
CRQ-II N.º 02900276

CRC.

Análises geoquímicas e ensaios químicos para minérios, solos, rochas e águas  
Espectrografia Ótica, Plasma ICP, Absorção Atómica, Fluorescência de Raios X e Vácuo Úmido.

Laboratório em Belo Horizonte, MG - Rua Almirante, 200 - Telefone (031) 221-5566 - Telex (031) 1796 - Reg. no CRQ-II n.º 2036



- A) Identificações de minerais  
 B) Tipos de águas que se encontram  
 C) Bacias sedimentares e classificação  
 D) Constituição da rocha vulcânica  
 E) Tipos de solos da hidromorfização

Projeto de lei que cria o Conselho de Desenvolvimento Sustentável do Estado de São Paulo.

Digitized by srujanika@gmail.com

୪୩

BOSTON, MASSACHUSETTS

LITERATURE

卷之三

167

THE FEDERALIST PAPERS

FIGURA D: ESTIMATIVA DE ALTO PONTO DE L-T-G <sub>1</sub>	
VALORES	ESTIMATIVA DE ALTO PONTO DE L-T-G <sub>1</sub>
GRADUAÇÃO TANTO C. TANTO	0,7000, 0,7030
GRADUAÇÃO TANTO C. TANTO	0,7000, 0,7030
GRADUAÇÃO TANTO C. TANTO	0,7000, 0,7030

卷之三

*Araucaria* *glaucophylla* *bentana* *biobobitica* com frutos de ca-  
char. A cabobita é endémica da bacia do minas gela-  
do, furenditas é originária de PE, minas gerais e missões.

A socia é tipicamente constituída por vizinhos que  
viveis a autoindivíduo, por demais - cuja é gloria  
que seja. O glaci Almén constituiu nalgum momento, de-  
núncios, concordou com a questão principal da terra  
não pôde ser estabelecida em formando nalgum momento  
a visão de um grande elenco de vizinhos.

*h* is always colored.  
*H* completeo resumendope de roder e serai. casele.  
*I*, *L*, *T*, *V*, *E*, *S*, *F*, *G*, *M*, *N*, *P*, *R*, *U*, *Z* de som piblo que ha abro-  
lado la materna, permaneciendo en el suelo a la sombra.

P  
10

in com vides de ea-  
menga de mica e de  
mica e mica e mica e

idea for my next one.  
was writing at glass  
writing desk, when  
he decided to take  
photograph of his  
12 hours.

com o resultado obtido com o método de Leibniz e o resultado obtido com o método de Leibniz.

the several cases  
seen will give his  
views & terminal

卷之三

A aranha obteria então facilidade com maior de cada vez. A cada dia é adicionada uma punha de microfibras, aumentadas por ócidos de  $\text{Fe}_2\text{O}_3$ , manganato e microcristais de charoato de microelementos, obtendo assim um microcimento que forma uma certa solidificação da massa mineral. Observa-se que o microelemento de sílica é o que dá maior clivagem da coruña.

A socia é um organismo constituido por organismos individuais, autônomos, que desempenham certas funções. Os fatores sociais, econômicos e culturais, considerados como a origem do social, desempenham um papel fundamental na formação da personalidade humana.

Ainda é a automóvel que tem custos com manutenção e reparo mais elevados? A indústria automotiva responde: não é. Os ônibus custam mais que os carros? A indústria automotiva responde: não é. Os ônibus custam mais que os carros? A indústria automotiva responde: não é. Os ônibus custam mais que os carros? A indústria automotiva responde: não é.

2. Jueves Calendario.  
A continuación presento para su conocimiento, la relación de los días que han sido designados para las fiestas y ferias de la ciudad de Guadalajara.

SOLVITTA - 4

- a) STABILITATEA SEU INTEGRITATE  
 b) TERRITORIUL DELEZII, VESTIGIUL SANTA MARIA  
 c) ELIMINAREA MATERIALELOR DE ARHIVARE  
 d) TIPUL DE GRAD DE PROTEJARE  
 e) CLASIFICAREA TUTIA ATRIBUTA DE DELINQUENT  
 f) TIPUL DE FONDS DOCUMENTAR

THE CLOTH OF GOLD

Suppl. 66010  
Printed in Australia  
by VITONE PUBLISHING

ପ୍ରକାଶକୀ

Digitized by srujanika@gmail.com

100



MINE & DOME	MINERALS	STRUCTURE	MINERALS	STRUCTURE
MINERALOGICAL EXPLORATION	Pyroxene Augite Olivine Tschermakite Cotmanite Spartite	Pyroxene Augite Olivine Tschermakite Cotmanite Spartite	Pyroxene Augite Olivine Tschermakite Cotmanite Spartite	Pyroxene Augite Olivine Tschermakite Cotmanite Spartite
MINERALS	Pyroxene Augite Olivine Tschermakite Cotmanite Spartite	Pyroxene Augite Olivine Tschermakite Cotmanite Spartite	Pyroxene Augite Olivine Tschermakite Cotmanite Spartite	Pyroxene Augite Olivine Tschermakite Cotmanite Spartite
STRUCTURE	Pyroxene Augite Olivine Tschermakite Cotmanite Spartite	Pyroxene Augite Olivine Tschermakite Cotmanite Spartite	Pyroxene Augite Olivine Tschermakite Cotmanite Spartite	Pyroxene Augite Olivine Tschermakite Cotmanite Spartite
MINERALS	Pyroxene Augite Olivine Tschermakite Cotmanite Spartite	Pyroxene Augite Olivine Tschermakite Cotmanite Spartite	Pyroxene Augite Olivine Tschermakite Cotmanite Spartite	Pyroxene Augite Olivine Tschermakite Cotmanite Spartite
STRUCTURE	Pyroxene Augite Olivine Tschermakite Cotmanite Spartite	Pyroxene Augite Olivine Tschermakite Cotmanite Spartite	Pyroxene Augite Olivine Tschermakite Cotmanite Spartite	Pyroxene Augite Olivine Tschermakite Cotmanite Spartite

LITERATUR & KUNST

Formata numha textura grossa e desbolhista. Observa-se uma  
variação de seletividade e uma incisiva classificação de cerni-  
lhos.

A rocha actua-se levantando constituida por granais rara-  
mente, e, subordinadamente, por grânulos micromictíticos (local-  
mente microlíticos) e óbicos. Os grânulos formam microgranos.  
Molai, sublösivos, disjuntivos, obliquamente na rocha.  
Tremolaria e gemação estão autoriosas que econtraem com-

peça seguinte:  
Peço que manda a avó da mão trala dada tril  
lado de trala posuto, não se leivicas a puxiga de nasc.  
que o officio em honra de brasil.  
trata-se de uma nova escola publica que foi construída  
em valençapau regional de que faz.

- A) *minimilista*  
 B) *relax trattoria* è *ristorante*  
 C) *classico*, *casual* o *rustico*  
 D) *ristorante*, *ristorante* è *casual*

प्राचीन ग्रन्थों का संक्षेप

卷之二十一

**MINN. DPP.** 1000A 10 MINN. PIRATELLA 1000A  
**Pastoreta** (P.-O.) 1000A 1000A  
 COMM. 1000A 1000A  
 Louis J. and Tommie

14. JULI 1911. — Auf dem Lande vor dem Neumarkt. Bei einem Spaziergang durch die Vorstadt, auf der Höhe des Neumarkts, fand ich eine alte, verwitterte, aus Natursteinen bestehende Mauer mit einer kleinen Türe, welche offen stand. Ich schaute hinein und sah einen kleinen Raum, der vollständig mit Steinen ausgekleidet war. In der Mitte dieses Raumes stand ein großer, aus Natursteinen geschnittenes Kreuz, das oben in Form eines Kreises endete. Die Türe war mit einem Eisenriegel gesichert.

卷之三

- A) Tornar-se mais solitários.  
B) Tornar-se mais atuais e dinâmicos.  
C) Evitá-los de imediatas.  
D) Tornar o trabalho de maneira bacana.

卷之三

6022 04424  
Translators  
1970-1974  
Bilingual  
1970

**BRITISH  
INDIA**

ESTABLISHMENT

Ameixa vincente laranja queimadilheira. Observar-se  
que o sabor é de sabor de laranja com laranja.  
Sua cor amarelo-creme e sabor laranja por menoras. Possui  
de numerosas cascas de espécie, difíceis, mas não muito duras.  
A fruta é vermelha com um coloração de vermelho e amarelo e tem  
uma carne suave, doces, sem clauda, sabor a laranja com laranja  
e sabor cítrico.

Como sua ameixa L.T.-07 é de sabor laranja  
e sabor ao laranja amarelo para seco; Entretanto, com laranja  
e ameixa de laranja com laranja de sabor de laranja.  
Tudo - se de sabor vermelha suave sabor laranja apetitosa por sabor com  
sabor regional de laranja.

*Consejos. Como una amistad entre socios de la  
ciudad es útil servir para la foto. Siembra, cultivar y se-  
guir las plantas son también de mucha  
utilidad. De vez en cuando se ha de pedir  
al vecino que nos dé su apoyo.*

卷之三

10

174

卷之三

四百九十一

卷之三

$$= \text{min}(\cdot) = \sum_{i=1}^n \sum_{j=1}^{m_i} x_{ij} + \beta_{m_{i+1}}$$

**DESENHO DE ALVORADA** - A Vila de Alvordinha, Pernambuco (Município da Rio  
Grande, Neócter) - TA MUNICÍPIO DA VILA SITUA-SE NO ESTADO DE PERNAMBUCO, BRASIL.  
Sua localização é: A 10 km da Cidade de Garanhuns, Pernambuco, Brasil.  
A Vila de Alvordinha é famosa por sua grande produção de cana-de-açúcar.

17

- a) TRADITIONELL LIES ANAMNESE  
 b) TELEOLOGISCHE SICHT AUF ANAMNESE  
 c) CLASSIFICATION DER PÄDIA TRIKOM & ANAMNESE  
 d) TRIO V. KÖRNER DIC ANAMNESEFORSCHUNG

ESTRUCTURA MIGRATORIA

ପ୍ରକାଶକ  
ବ୍ୟାପାର କେନ୍ଦ୍ର

卷之三

בְּרִיתָמָה דֶּלֶת

MATERIALS AND METHODS

100

112

Journal of Health Politics, Policy and Law

A maioria apresenta tentar conquistar autoridade de diretorado, tendo em vista a sua constante, dicontinua constituição por quanto existindo associado à brevata e obstante a confusão metodológica da sociedade mercantil, muitos representantes fazem novas inovações, fazendo uso de palavras que só servem para enganar, querendo assim criar um novo tipo de cidadão, nomeadamente a individualista, a mercadoria dos principais príncipes. Os países ocidentais, anglo-saxões, ou bom termo deles, são os que mais fazem a sociedade obsoleta ( $\approx 2\%$ ) que aceita sempre nos círculos subculturais, com nenhuma aversão.

Todas as suas ações políticas mostravam-se sempre honestas e sinceras.

BRASIL

ESTADO

SANTA CATARINA

MUNICIPIO

URUGUAIANA

REC. 27

DATA: 10/09/1975

PROFISSAO: MULHER

EDADE: 25 ANOS

SEXO: FEMININO

ESTADO CIVIL: SOLTEIRA

ESCOLARIDADE: INSTRUCAO

OCUPACAO: ESTUDANTE

RESIDENCIA: URUGUAIANA

TRABALHO: NENHUM

PROFISSAO: NENHUM

ESTADO CIVIL: SOLTEIRO

EDADE: 25 ANOS

SEXO: MASCULINO

ESTADO CIVIL: SOLTEIRO

EXAMINADO: DR. JOSÉ MARCELO DE SOUZA  
TESTIGIO: DR. JOSÉ MARCELO DE SOUZA

EXAMINADO: DR. JOSÉ MARCELO DE SOUZA  
TESTIGIO: DR. JOSÉ MARCELO DE SOUZA

EXAMINADO: DR. JOSÉ MARCELO DE SOUZA  
TESTIGIO: DR. JOSÉ MARCELO DE SOUZA

EXAMINADO: DR. JOSÉ MARCELO DE SOUZA  
TESTIGIO: DR. JOSÉ MARCELO DE SOUZA

EXAMINADO: DR. JOSÉ MARCELO DE SOUZA  
TESTIGIO: DR. JOSÉ MARCELO DE SOUZA

EXAMINADO: DR. JOSÉ MARCELO DE SOUZA  
TESTIGIO: DR. JOSÉ MARCELO DE SOUZA

EXAMINADO: DR. JOSÉ MARCELO DE SOUZA  
TESTIGIO: DR. JOSÉ MARCELO DE SOUZA

EXAMINADO: DR. JOSÉ MARCELO DE SOUZA  
TESTIGIO: DR. JOSÉ MARCELO DE SOUZA

EXAMINADO: DR. JOSÉ MARCELO DE SOUZA  
TESTIGIO: DR. JOSÉ MARCELO DE SOUZA

EXAMINADO: DR. JOSÉ MARCELO DE SOUZA  
TESTIGIO: DR. JOSÉ MARCELO DE SOUZA

EXAMINADO: DR. JOSÉ MARCELO DE SOUZA  
TESTIGIO: DR. JOSÉ MARCELO DE SOUZA

EXAMINADO: DR. JOSÉ MARCELO DE SOUZA  
TESTIGIO: DR. JOSÉ MARCELO DE SOUZA

EXAMINADO: DR. JOSÉ MARCELO DE SOUZA  
TESTIGIO: DR. JOSÉ MARCELO DE SOUZA

EXAMINADO: DR. JOSÉ MARCELO DE SOUZA  
TESTIGIO: DR. JOSÉ MARCELO DE SOUZA

EXAMINADO: DR. JOSÉ MARCELO DE SOUZA  
TESTIGIO: DR. JOSÉ MARCELO DE SOUZA

EXAMINADO: DR. JOSÉ MARCELO DE SOUZA  
TESTIGIO: DR. JOSÉ MARCELO DE SOUZA

EXAMINADO: DR. JOSÉ MARCELO DE SOUZA  
TESTIGIO: DR. JOSÉ MARCELO DE SOUZA

EXAMINADO: DR. JOSÉ MARCELO DE SOUZA  
TESTIGIO: DR. JOSÉ MARCELO DE SOUZA

### SOLICITA-SE:

- Identificação dos materiais
- Testes a enzimas de melanomas
- Testes tóxicos entre os minerais
- Classificação da recha atual e anterior
- Teste a traços da mineração

A seção seca desse espécime contém óssos de cecídeos (morcegos), observando-se uma grande quantidade de esclerose, forma elongada, com perda intensa de mineral, e resquícios de concretos. Sobre o tecido ósseo, existem manchas de óxido de ferro e quartzo, de cor amarela, associados à calcificação.

A calcificação mineralogica da secha acha-se sistematicamente constituída por minerais secundários, segundo indicação do examinador, como faixas minerais antivariadas, ou calcita em determinados lugares, ou quartzo formado por calcita. A secha, sendo que em certos lugares é maior, abrange todo o ósso e partes foram extraídos dissecando por todo o lado.

Tudo o que se vê na secha, apesar de grande parte ser formada de granito, possivelmente por variação

### DESCRIÇÃO MACROSCÓPICA

#### Carne crua

Carne branca

Carne vermelha

Carne negra

Carne amarela

Carne verde

Carne marrom

Carne cinza

Carne rosa

Carne azul

Carne laranja

Carne rosa

Carne amarela

Carne cinza

Carne marrom

Carne azul

Carne rosa

Carne cinza

### CLASSIFICAÇÃO MICROSCÓPICA

Alveolos

Cristais

Lipídios

Proteínas

Carbônicos

Minerais

Carbônicos

MINEROPEA explanado	FUNDA II - ALVAREZ LIMA EXPLORACAO	11.000	Brancos	Brancos
Pedra Testorita	100% Crustal 17- <del>0</del> 000 mala 1010185	11		
Montanha Taboca 24.000	100% Crustal 17- <del>0</del> 000 mala 1010185	12		
Taboca Luis Taboca Cachão	Quase 100% Crustal 17-000 mala 1010185	13		
	100% Crustal 17-000 mala 1010185	14		
		15		
		16		
		17		
		18		
		19		
		20		

DESCRIÇÃO DE ALVAREZ LIMA  
Pedras taboadas da Taboadinha Cap. 2000, localizada na Fazenda Taboadinha  
aproxima da zona de metamorfismo de Lembitivo do Rio Grande  
Santuário. O aprofundamento é relativamente grande e mais profunda  
esta pedra queimada de forma irregular 70% - Repartição de 100%  
das pedras taboadas 70% de 2,5% de Valente (P<sub>2</sub>O<sub>5</sub>)

Liação da Manta e Ribeira Taboadinha

A amostra dura, leva granuloblasto. Obscuras e amarelo  
amarelo de taboadas e uma clivagem de conchilhos taboadas.  
O quartzo sobre minerais, zirconoblasto intercalados com  
os mesmos minerais e quartzo primitivo existentes.  
A gártia é um diajio muito raro e rica (4%).  
Área certa, entretaboadas a zirconoblasto, com zona leira  
sulcada no centro de suas artas. Dessa zona os minerais permanecem  
na rocha.  
Tudo se de forma varia de ouro folha, ofício por vez,  
lúmophano amarelo de gran folha.

SOLICITA - SE :

- Identificar as minerais
- 7.725 e 9.000 de manta taboadinha
- Características químicas e físicas
- Classificação da lúrica Ativa e observar
- Todos e vários da mineralização

#### OURO NA MACROFOLHA

de Lúrica Taboadinha  
Gemas manta Taboadinha  
Lúrica Taboadinha

Opala Taboadinha  
Gemas manta Taboadinha  
Lúrica Taboadinha

Gemas Taboadinha  
OURO NA MACROFOLHA  
a. folhas  
b. folhas

MILITARIA  
ex-vitória  
no dia 10/10/1918  
participou da  
batalha de  
Bapaixão

DESCRIÇÃO DE MILITARIA  
que pertenceu ao  
Sargento da Tropa  
Antônio da Costa  
Gonçalves Româncio  
que faleceu na  
Guerra Mundial

#### COLARINA - 32

- Líder, Tropa, 3º Regimento
- Tropeiro
- Capo de Esquadronamento
- Cavalaria
- Capo de Esquadronamento
- Capo de Esquadronamento
- Capo de Esquadronamento
- Capo de Esquadronamento

Possivelmente  
pertenceu à  
Tropa de Cavalaria

que faleceu na  
Guerra Mundial

DESCRIÇÃO MACROSCÓPICA  
de Estande  
uniforme fino  
vermelho - Vermelha

bandas  
vermelhas  
vermelhas vermelhas

bandas  
vermelhas  
vermelhas

DIFERENÇA MATERIAIS  
1) Fita  
2) Fita

PROJETO DE LEI N.º 100/87  
DESTITUICAO DE ALBERTO GOMES  
CABRAL

110

INTERPRETAÇÃO DA CLAUSURA

MOTIVO

DISTRIBUIÇÃO DE ALBERTO GOMES  
ENTRE CONSELHEIROS FEDERAIS  
E ESTADUAIS DO PIAUÍ.  
CADA MÊS DE FEVEREIRO, MARÇO E ABRIL  
DE 1987, ALBERTO GOMES, APENAS DE  
ACORDO COM PROVÍNCIAS.

## Sugestão:

- a. Localizar em sua residência
- b. Deixar que o deputado visite
- c. Convidá-lo para jantar em sua residência
- d. Tornar a visita de maior interesse
- e. Sobrepor-lhe seu projeto de lei.

DIÁRIO DA REPÚBLICA - 1987

GOMES é sede desembargador de Almada  
exercer, dirigindo até 15 em compimento, que englobam parceria  
bibliográfica entre os mesmos de todos.

A morte forma um aguado provavelmente  
pertencente ao condado (mais das regras privativa), que  
consiste à baixa, multa, e a determinados critérios, plus  
rendais que fazem do Almada (1), das partes da reia onde  
a corrente é feita, alterada por mês, além da puni-  
ção de multa de cinco de lei.

Localmente, observa-se a ausência de um protocolo  
de uso moderno comprovado a grande espaço, permanência, etc.  
Oito, que provavelmente, seja setenta.  
Faz-se de forma de forma simples, semelhante a mal-  
tempo de contato, para homens homens,

Tribunal: V

Local: Salvador

Número: 1

Tribunal: Conselho de Contabilidade

Local: Salvador

Tribunal: Conselho de Contabilidade

Local: Salvador

Tribunal: Conselho de Contabilidade

Local: Salvador

## MINERÓPOLIS

BRILL, J. J. ATIVIDADE PETROGRÁFICA

Município: Belo Horizonte - MG  
Partido: Domitila - Belo Horizonte  
Cidade: Belo Horizonte  
Município: Belo Horizonte

DESENHO DE ALTO ACABAMENTO

Linha (Linha de corte)

RESUMO: 59

59

Estudo

Mineral

(a) Formas das Minérios e Rochas-fornaceas

Quartzo e feldspato, os vértices piriformes, constituem um fundo granoblastico sobre o qual se desenrolam porfiro por spiloblastos da espécie. A aluminita forma agrupações fibrosas que substituem a enxofresita. Ocorrem como minerais acessórios. Traçar de uma rocha da origem metamórfica quartzo e feldspato por hematita e ferro.

Opaços: calcopirílio (grãos, maiores ou menores grandes)

DESCRIÇÃO DA LIGA GREGA

de Cobre

Estádio Vassouras

Linha Grega

Estádio Pernambuco

Linea de Interseção

Entre 83

Minério: Enxofre

Mineral:

BRUNELLA

HAROLD

## MINEROPAII

## FICHA DE ANÁLISE PATOGRÁFICA

Pecado Cidade - RJ (11)

Mineropala  
Cia. Comércio e Ind.

nº 00000000000000000000

Data: 09/08/1964

nº 3C-104

Nº 00000000000000000000

J. C. P. 10000000000000000000

Descrição da Evidência: A amostra é um pedaço de madeira com 10 cm de comprimento. O material é de madeira de carvalho, com uma espessura de 1 cm. A superfície é lisa e não mostra nenhuma marca ou risco.

Características: A madeira é de cor marrom clara, com um aspecto suave ao tacto. A madeira é resistente e duradoura, podendo ser usada para construção de casas e móveis.

Localização: A madeira está posicionada no centro da amostra, com suas bordas规整adas.

	Material	Mineral	Fábrica
1) madeira	—	—	—
2) madeira	—	—	—
3) madeira	—	—	—
4) madeira	—	—	—
5) madeira	—	—	—
6) madeira	—	—	—
7) madeira	—	—	—
8) madeira	—	—	—
9) madeira	—	—	—
10) madeira	—	—	—
11) madeira	—	—	—
12) madeira	—	—	—
13) madeira	—	—	—
14) madeira	—	—	—
15) madeira	—	—	—
16) madeira	—	—	—
17) madeira	—	—	—
18) madeira	—	—	—
19) madeira	—	—	—
20) madeira	—	—	—
21) madeira	—	—	—
22) madeira	—	—	—
23) madeira	—	—	—
24) madeira	—	—	—
25) madeira	—	—	—
26) madeira	—	—	—
27) madeira	—	—	—
28) madeira	—	—	—
29) madeira	—	—	—
30) madeira	—	—	—

Nº 00000000000000000000

Conclusão: A madeira é de ótima qualidade, com uma estrutura resistente e duradoura. A madeira é resistente à intempéries e pode ser usada para construção de casas e móveis.

## DESCRIÇÃO DA FICHA

em Cor:

corante Viz:

nível: 00000000000000000000

Largura: 10 cm

Grau de ferro: 3

Especie: W1

Vizinho: 00000000000000000000

Largura:

Especie: W1

Vizinho: 00000000000000000000

Especie: W1

Vizinho: 00000000000000000000

Faz parte do bloco de madeira

**2) Organismos sedimentares:**

	1.4.4.1	1.4.4.2
<b>Mineral:</b>		
ii) <b>Quartzo</b>	39	
iii) <b>Cordierita</b>	6.1.	
iv) <b>Diatita</b>	13	
v) <b>Fuscaite</b>	14	
vi) <b>Formalina</b>	15	
vii) <b>Zircão</b>	16	
viii) <b>Oxigênio</b>	17	
ix)	18	
x)	19	
xi)	20	

2) Organismos sedimentares:

**Quartzo** e **Cordierita** formam um engodo granulado entre minerais e os véios e esferas pequenas perfolhados. A cordierita, geralmente, situa-se dilatando para o núcleo.  
 Em alguns pontos da fôrma redonda uni acúmulo linear de areia e formam uma linha de minerais pesados e do sedimento errático.  
 Trata-se de uma rocha de metamorfismo de contato, mista com areia, localmente, unida concretas associadas anterior (estufa mineral do metamorfose regional). As minerais fogos e outros a partir de um sedimento silicificado.  
**Oxigênio**: ilmenito  
 Nas lamas sulfatas

**MINERALOGIA**  
SISTEMA

DATA - 05/05/94  
ANALISE - GEOLÓGICA

DATA - 05/05/94  
ANALISE - GEOLÓGICA

DATA - 05/05/94

DATA - 05/05/94  
ANALISE - GEOLÓGICA

**MATERIAL**

**PLATA DE ANALISE PIROTÉCNICA**

**ESTIMATIVA MELHORADA**

**120**

PARA 100,000g + 4,000g

Precificação: 100000g - 100000g - 30000g = 60000g

100000g

40000g

Mineral

PARA 100,000g + 4,000g

100000g

40000g

Mineral

PARA 100,000g + 4,000g

100000g

40000g

Mineral

DESECHO DE ALIMENTO: 100000g - 100000g - 30000g = 40000g  
Lixo: 40000g - 40000g - 30000g = 10000g  
Kg de Ureia: 10000g / 10000g = 1kg  
Ureia: 10000g / 10000g = 1kg

PARA 100,000g + 4,000g

100000g

40000g

Mineral

100%

100%

100%

100%

100%

100%

100%

100%

100%

100%

100%

100%

*Foto: Dr. José L. Gómez*

*Foto: Dr. José L. Gómez*

*Foto: Dr. José L. Gómez*

FORAMEN CEREBELLO-VENTRICULARIS

POSOFONIUS MUSCULUS P. (133)

CEREBELLO-VENTRICULARIS

*Esferoide de color gris pardo, con un diámetro mayor que el menor, que es de 1.5 mm. y el menor de 1.2 mm. La superficie dorsal es lisa y la ventral rugosa.*

*En la base de la pieza se observa una**lámina de tejido nervioso que se extiende**y sigue hacia el lado opuesto de la pieza.**En la parte posterior de la pieza se observa**una lámina de tejido nervioso que se extiende**y sigue hacia el lado opuesto de la pieza.**En la parte anterior de la pieza se observa**una lámina de tejido nervioso que se extiende**y sigue hacia el lado opuesto de la pieza.**En la parte posterior de la pieza se observa**una lámina de tejido nervioso que se extiende**y sigue hacia el lado opuesto de la pieza.**En la parte anterior de la pieza se observa**una lámina de tejido nervioso que se extiende**y sigue hacia el lado opuesto de la pieza.**En la parte posterior de la pieza se observa**una lámina de tejido nervioso que se extiende**y sigue hacia el lado opuesto de la pieza.**En la parte anterior de la pieza se observa**una lámina de tejido nervioso que se extiende**y sigue hacia el lado opuesto de la pieza.*

## CIRUGIA DE LAS VENAS Y ARTERIAS

MATERIAL

**MICROGRAFIA**

**HISTOOLANÁLISE PIGMENTARIA**

BRUTO GRANULADO - 100%  
matifera 100% acid. 5% Ác. Ac.

Nº 100, Pó de 3x 500g  
Cilios, 500g

- a) Volumetria dos pigmentos: Cais e turcos azuis,
- b) Cilios: 1.000 cilios.
- c) Formato: Alinhado.
- d) Coloração: Sustancia granular e resolutiva.
- e) Descrição: Volumetricamente grande.

(\*) Compõe mais 1% em peso de minerais.

Mineral	Grande	Médio	Pequeno	Total
n) <b>silicita</b>	.....	.....	.....	10%
m) <b>biotita</b>	.....	.....	.....	90%
n) <b>gártigo</b>	.....	.....	.....	0%
o) <b>iolita</b>	.....	.....	.....	0%
p) <b>zircão</b>	.....	.....	.....	0%
q) <b>gártigo</b>	.....	.....	.....	0%
r) <b>anfíbo</b>	.....	.....	.....	0%
s) <b>coronita</b>	.....	.....	.....	0%
t) <b>cordierita</b>	.....	.....	.....	0%
u) <b>gártigo</b>	.....	.....	.....	0%
v) <b>iolita</b>	.....	.....	.....	0%
w) <b>zircão</b>	.....	.....	.....	0%
x) <b>gártigo</b>	.....	.....	.....	0%

(\*) Minerais de menor intensidade.

As rochas observadas sono textura granuloblasticas solicias. Sublinhada pela existencia das massas e das caixas de granito. que conservam a caracteristica do granito, de granito segundo. São o granulismo de certos a que a rocha ha aderido. Formas de nodulos singulares de corrente que englobam segregabilisticamente part do material da rocha original. e existem, prova dos longos processos para as formas das rochas. Isso indica que a rocha solica obteve origem por meio de contatos. morphismo regional (grau profundo) e independente metamorfismo de contactos.

**Chaves:**

- a) Minerais: Particularidades.
- b) Relações: Texturas de massas.
- c) Existência de texturas de granito e granulismo.
- d) Textura: Textura de granulismo.
- e) Chave: Síntesis das outras, não é independiente.

**DESCRIÇÃO MINERALÓGICA**

em Março:

Domingo 10/03/1950  
Térrea (Côr amarela)

Térrea 100% -  
Diamante: 5% -  
Ouro: 1% -  
Ágate (C) 1% -  
Biotita: 0,5% -

1) Brancas 10%

6) Verdes

**MINIROPALIA**  
espécie nova

**FIGURA 13. ANATOMIA PTEROGRAFICA**

**PERACO CERATINIZADO - C. 1500X**  
MATERIAL - Fêmea, Pteropode, A. 10 mm.  
LOCALIZAÇÃO - J. F. S. da Silva.

**DESCRIÇÃO DA MORFOLOGIA** O cérebro consiste em 30 segmentos. As extremitades das extremidades anteriores e posteriores possuem 5 e 6 articulações respectivamente. As extremidades laterais possuem 3 articulações cada uma.

**Linfáticos:**

1. Círculo torácico dorsal.

2. Círculo torácico ventral.

3. Círculo abdominal dorsal.

4. Círculo abdominal ventral.

**DESCRITIVO MORfológico**

De C. 1500X  
Pintado F. 1000  
Luz F. 1000

**Figura 13.** *Minropalria* sp. n. Vistas de cima.  
Morfologia: Círculo torácico dorsal, ventral e abdominal.

**DETALHES:** 1. Círculo torácico dorsal.

2. Círculo torácico ventral.

3. Círculo abdominal dorsal.

4. Círculo abdominal ventral.

*Figura 13. Minropalria sp. n. Vistas de cima.*

**MINEHOPA II**

**FOLHA 101 - ALVAREZ PILOGRÁFICA**

**PROJETO DE TERRAS E CANTO** **36463** **DE 10-06-1938** **4.000.000**

**ENTREGUE A:** **J. A. ALVAREZ**

**102**

**DESENHO DE ALVAREZ** **11/11/1938** **102**  
**FORMATO DA MALHA: 1000x1000x1000**  
**RESOLUÇÃO: 1000x1000x1000**  
**PROJEÇÃO: UTM 1983 WGS84**

- a. Linhas de referência das variações
- b. Diferença de elevação entre as variações
- c. Contorno de elevações e diferenças
- d. Linha e pontos de variação nova
- e. Quercuras das novas elevações

**102**

**102**

**102**

**102**

**102**

**DESENHO DE ALVAREZ** **11/11/1938** **102**  
**FORMATO DA MALHA: 1000x1000x1000**  
**RESOLUÇÃO: 1000x1000x1000**  
**PROJEÇÃO: UTM 1983 WGS84**

**102**

**102**

**102**

**102**

**DESENHO DE ALVAREZ** **11/11/1938** **102**  
**FORMATO DA MALHA: 1000x1000x1000**  
**RESOLUÇÃO: 1000x1000x1000**  
**PROJEÇÃO: UTM 1983 WGS84**

**102**

**102**

**102**

**102**

**DESENHO DE ALVAREZ** **11/11/1938** **102**  
**FORMATO DA MALHA: 1000x1000x1000**  
**RESOLUÇÃO: 1000x1000x1000**  
**PROJEÇÃO: UTM 1983 WGS84**

**102**

**102**

**102**

**102**

**DESENHO DE ALVAREZ** **11/11/1938** **102**  
**FORMATO DA MALHA: 1000x1000x1000**  
**RESOLUÇÃO: 1000x1000x1000**  
**PROJEÇÃO: UTM 1983 WGS84**

**102**

**102**

**102**

**102**

**DESENHO DE ALVAREZ** **11/11/1938** **102**  
**FORMATO DA MALHA: 1000x1000x1000**  
**RESOLUÇÃO: 1000x1000x1000**  
**PROJEÇÃO: UTM 1983 WGS84**

**102**

**102**

**102**

**102**

**DESENHO DE ALVAREZ** **11/11/1938** **102**  
**FORMATO DA MALHA: 1000x1000x1000**  
**RESOLUÇÃO: 1000x1000x1000**  
**PROJEÇÃO: UTM 1983 WGS84**

**102**

**102**

**102**

**102**

**DESENHO DE ALVAREZ** **11/11/1938** **102**  
**FORMATO DA MALHA: 1000x1000x1000**  
**RESOLUÇÃO: 1000x1000x1000**  
**PROJEÇÃO: UTM 1983 WGS84**

**102**

**102**

**102**

**102**

**DESENHO DE ALVAREZ** **11/11/1938** **102**  
**FORMATO DA MALHA: 1000x1000x1000**  
**RESOLUÇÃO: 1000x1000x1000**  
**PROJEÇÃO: UTM 1983 WGS84**

**102**

**102**

**102**

**102**

**DESENHO DE ALVAREZ** **11/11/1938** **102**  
**FORMATO DA MALHA: 1000x1000x1000**  
**RESOLUÇÃO: 1000x1000x1000**  
**PROJEÇÃO: UTM 1983 WGS84**

**102**

**102**

**102**

**102**

**DESENHO DE ALVAREZ** **11/11/1938** **102**  
**FORMATO DA MALHA: 1000x1000x1000**  
**RESOLUÇÃO: 1000x1000x1000**  
**PROJEÇÃO: UTM 1983 WGS84**

**102**

**102**

**102**

**102**

**DESENHO DE ALVAREZ** **11/11/1938** **102**  
**FORMATO DA MALHA: 1000x1000x1000**  
**RESOLUÇÃO: 1000x1000x1000**  
**PROJEÇÃO: UTM 1983 WGS84**

**102**

**102**

**102**

**102**

**DESENHO DE ALVAREZ** **11/11/1938** **102**  
**FORMATO DA MALHA: 1000x1000x1000**  
**RESOLUÇÃO: 1000x1000x1000**  
**PROJEÇÃO: UTM 1983 WGS84**

**102**

**102**

**102**

**102**

"Correspondente contendo todos os detalhes  
 da folha 102, que é a folha 101.



## MINEROPAII ANALISE PETROGRÁFICA

ROCKNAME: JG-120 - JG-121 - JG-122 - JG-123 - JG-124 - JG-125

LOCALIZAÇÃO: Rio das Pedras, Rio das Pedras, Rio das Pedras

COLHEITA: J.C. Bento

DATA: 1971-08-08

LUGAR: Rio das Pedras

DESCRIÇÃO DE ALTOAMENTO: Sítio que ocupa parte da serra da Serra do Rio das Pedras e que é dividido em duas unidades principais: Quatá e Quatá Grande. A unidade Quatá Grande (JG-121), é uma formação de rochas graníticas e metamórficas.

### Sedimentos:

- a. Tabuleiros e vales sedimentares lacustres
- b. Saídas de rios e ribeirões e lamaresas lacustres
- c. Depósitos lacustres e de origem hidrometeorológica
- d. Encostas da Serra das Pedras
- e. Grotas e depósitos hidrometeorológicos
- f. Cascalhos e areias de rios e ribeirões

### Minerais:

- a) Quartzo
  - b) Cordierite
  - c) Muscovita
  - d) Turmalina
  - e) Opaques
  - f) Feldspato
  - g) Ilmenita
  - h) Anatasia
  - i) Lepidolita
  - j) Amfibolito
  - k) Olivino
  - l) Magnetita
  - m) Ilmenita
  - n) Anatasia
  - o) Lepidolita
  - p) Ilmenita
  - q) Olivino
  - r) Magnetita
  - s) Anatasia
  - t) Lepidolita
  - u) Ilmenita
  - v) Olivino
  - w) Magnetita
  - x) Anatasia
  - y) Lepidolita
  - z) Ilmenita
- l) Ilmenita e Anatasia + Felsitas feldspato

A rocha apresenta em alguns locais uma estrutura relativa heredada da metamorfismo regional.

Pcordierita forma nódulos que englobam quartzo

e minerais micascos. O massivo forma perfurovelas

pois que la micascos. Núcleos de apertos ocorrem aureolados

por biotila, como se fossem pequenos nódulos,

relaxar de uma ruha pelista o anfíbolis que foi

submetido a metamorfismo regional e de contato.

Opaques: resíduo de silicita e micas de material

de alteração.

### DESCRIÇÃO METAMÓRFICA

a) Mafico: Anatasia

b) Felsico

c) Metamórfico

d) Metamórfico

e) Metamórfico

f) Metamórfico

g) Metamórfico

h) Metamórfico

i) Metamórfico

j) Metamórfico

k) Metamórfico

l) Metamórfico

m) Metamórfico

n) Metamórfico

o) Metamórfico

p) Metamórfico

q) Metamórfico

r) Metamórfico

s) Metamórfico

t) Metamórfico

u) Metamórfico

v) Metamórfico

w) Metamórfico

x) Metamórfico

Y) Metamórfico

Z) Metamórfico

AA) Metamórfico

BB) Metamórfico

CC) Metamórfico

DD) Metamórfico

## MILIOPODAH

ESPECIE TIPO NOME DE MATERIAL

MUNICO Cerrado Cerrado JC 478 ro. 6000-JC 124 1000 m. e.v.m.

maioria estrelado Argelina leve nativa  
cante J. C. Encarnado

extremo

DESCRICAO DE ALIMENTAMENTO Musco, Varejo, A., Jc. 126 (vist, fase adulta).  
Eles comeram o de uma abacateira adulta do JC. 123 e se desenvolverem

## SOLDADAS

- ex. Desenvolv. do espécie
- ex. P.A.: Adulto sob as francinhas
- ex. Euatavares: do Veladense Buraco e oxidado
- ex. Tipos que se descidiram (ex.:  
ex. Quelidae) que estavam no sp

1) Formigas que servem para espuma

- i) queijo
  - ii) condensado
  - iii) leite
  - iv) amendoim
  - v) granola
  - vi) chocolate
  - vii) farinha
  - viii) óleo
  - ix) leite
  - x) creme
  - xii) leite
  - xv) leite
- ii) Esse é o Menos e Mais leite

2) Formigas que servem para espuma do omela. Forma apresenta grandes grãos de caroí, moldado, com aditivo de deter-  
rentes, ex. óleo de gerges. Entretanto moment quebrando o mole -  
lo ovos, imediatamente o espuma é criado.

Basta arranhá-la e ressaca selecionar pequenos pedaços que engolham peregrinando entre menos formados, do ovo.

Também as gigas casam como acúvio. Os gigas já  
mostra aberturas.

A omela não é constituida algumas de nor-  
morfismo regional. Todas se posicionam de uma forma simili-  
lar argila envoltando a massa de comida.

## DESCRICAÇÃO MORFOLOGICA

Cor: Cinza e cinzento  
Sistema Vascular:  
função Veladense

Função: Veladense  
Cor: cinza e cinzento

Material: Veladense

Descrição: M. V. Veladense

1) Fêmea:  
2) Garganta:

## BINÓCULAR

## FICHA DE ANÁLISE PRINCIPAL

MARCA: C. CANALER - CALCAR. PROVÍNCIA: SANTA CATARINA  
MATERIAL: GARRAFA PLASTICA P/ ÁGUA, 3 L.

DATA: 10/11/1970. N° SÉRIE: 20105134

LOCAL: J. R. BRASIL

UNIDADE: UNI-4

CELESTE

DESCRIÇÃO: AUTOMÓVEL FIAT 1470, COLOR: VERMELHO. FABRICANTE: FIAT. MODELO: 1470. ANO: 1970. N.º SÉRIE: 20105134

BRANCO

DESCRIÇÃO: AUTOMÓVEL FIAT 1470, COLOR: VERMELHO. FABRICANTE: FIAT. MODELO: 1470. ANO: 1970. N.º SÉRIE: 20105134

AMARELO

DESCRIÇÃO: AUTOMÓVEL FIAT 1470, COLOR: VERMELHO. FABRICANTE: FIAT. MODELO: 1470. ANO: 1970. N.º SÉRIE: 20105134

DETALHES:

- a. Tela de vidro: a) vidro quebrado
- b. Vidro: b) vidro quebrado
- c. Pintura: c) pintura rachada (quebra de camadas)
- d. Porta: d) porta rachada
- e. Tampa: e) tampa de tanque faltante
- f. Chassi: f) chassi rachado

VERMELHO

AMARELO

VERMELHO

AMARELO

A2

## DESCRIÇÃO: V/ C/VIDRIO

EX: GVA

## MINERAIOS

## FIGURA DE ANÁLISE PETROGRÁFICA

minério Granito - CINZA

minério Granito Bravuliano  
cristais Quarcitos Intergranos

**DESCRIÇÃO DE MINERAIS**  
 A) Cristais de quartzo e de granito (Cristais) vermelhos  
 com barro amarelo. Têm forma, mas podem ser quase que só vidro.  
 B) Álbito e feldspato.

- a. Gesso e barro amarelo.
- b. Dióxido de ferro dissolto em hidroxílio.
- c. Iodato de sódio dissolto em água.
- d. Iodato de sódio dissolto em água.
- e. Álbito dissolto em água.

## Diagrama de Análise Mineral



Indícios de Minerais e Ricos Indicadores

Ainda existe cristais de quartzo e álbito, juntinhos, dentro numa forma muito fina, composta por minerais vermelhos e glosos. Enquanto o quartzo ocorre nódulos de cor de laranja, ferrugem, dissolvidos, eventualmente em estóquios amarelos de marmogafismo de contorno.

Bons resultados, certamente com turmalina, juntão a ágatas.

Indica-se de rotuladamente óxidos submetidos a rottman. Álbito regional de granito (individuais por vezes certos óxidos amarelos), com conjunto metanegativo de contorno, amarelo.

## DESCRIÇÃO MICROSCÓPICA

a) Gesso  
 b) Álbito  
 c) Barro amarelo

D) Álbito  
 E) Barro amarelo  
 F) Álbito

G) Álbito  
 H) Barro amarelo

## DESCRIÇÃO MICROSCÓPICA

a) Álbito  
 b) Álbito

b) cristais de álbito  
 c) Álbito

MIN procedente de	Compr. lit. corrente PIRENEUICA	Hora hora	Interrompe assim lrs. adj. f. de maturata
PONTO Geral da Cidade de PIRENEUICA MUNICÍPIO Geralda, PIRENEUICA CENTRO Sustituto V. Alegre CEP 54020-000	05-05-05 0000-00-00000000	05-05-05 0000-00-00000000	05-05-05 0000-00-00000000
05-05-05 0000-00-00000000			

DESCRIÇÃO DE ALIMENTO: Alimento contendo carne, batatas fritas e vegetais, com salsinha. Um grande volume de vegetais, brócolis, espinafre, alface, cebola, tomate, etc.

Qtds.: 1000g

Sobras: -  
 a) Sobras provenientes da preparação:  
 b) Restos provenientes das refeições:  
 c) Restos provenientes do consumo:  
 d) Restos provenientes de manipulação:  
 e) Restos provenientes da cozinha:

ou resultado dos seguintes:

Aproximação estruturalmente similar à do alimento, com  
 - a resistência é bem maior, endurecida;  
 - a consistência de gordura subtils, (sufítils);  
 - o sabor;

ou resultado de processamento:

Residuo da cozinha - Restos de

lavar a fruta - Restos de

lavar os vegetais - Restos de

lavar a carne - Restos de

lavar a salsinha - Restos de

lavar o tomate - Restos de

lavar a cebola - Restos de

lavar o espinafre - Restos de

lavar o brócolis - Restos de

#### DESCRIÇÃO TECNOLÓGICA

Do Geral  
 Sustituto V. Alegre  
 Restos de  
 Envelope de  
 Casa de luxo - Restos de  
 Japonês MC

Restos de  
 Laranja  
 Restos de  
 Frutas

Restos de  
 Frutas  
 Restos de  
 Melancia

Restos de  
 Melancia  
 Restos de

Restos de  
 Frutas

Restos de  
 Melancia  
 Restos de  
 Melancia

Restos de  
 Melancia  
 Restos de

1141-1142

THEORY OF POLYMER CRYSTALLIZATION

Excluded	Mineral	Excluded	Mineral
1) <i>quartz</i>	10) <i>glaucophane</i>	11) <i>quartz</i>	12) <i>quartz</i>
2) <i>biotite</i>	13) <i>quartz</i>	14) <i>quartz</i>	15) <i>quartz</i>
3) <i>cordierite</i>	16) <i>quartz</i>	17) <i>quartz</i>	18) <i>quartz</i>
4) <i>stilbite</i>	19) <i>quartz</i>	20) <i>quartz</i>	21) <i>quartz</i>
5) <i>pyroxene</i>	22) <i>quartz</i>	23) <i>quartz</i>	24) <i>quartz</i>
6) <i>diopside</i>	25) <i>quartz</i>	26) <i>quartz</i>	27) <i>quartz</i>
7) <i>almandine</i>	28) <i>quartz</i>	29) <i>quartz</i>	30) <i>quartz</i>
8) <i>plagioclase</i>	31) <i>quartz</i>	32) <i>quartz</i>	33) <i>quartz</i>
9) <i>feldspar</i>	34) <i>quartz</i>	35) <i>quartz</i>	36) <i>quartz</i>
10) <i>feldspar</i>	37) <i>quartz</i>	38) <i>quartz</i>	39) <i>quartz</i>
11) <i>feldspar</i>	40) <i>quartz</i>	41) <i>quartz</i>	42) <i>quartz</i>

*Amelanchier* *canadensis* *var.* *lucida*

11

Digitized by srujanika@gmail.com

1400 J. POLYM. SCI.: PART A

PROJETO DE  
ESTUDOS E

PROJETO DE ESTUDOS E PESQUISAS

PEMA 6

PEMA 6

Projeto Científico - C.A.P.  
Município Cearápolis  
Estação Fazenda Vila Nova  
Localização Cearápolis  
Ceará  
UFSCar - UFSCar

**Descrição do Local:**  
A estação Fazenda Vila Nova é uma fazenda com área de 200 ha, localizada na estrada que liga Cearápolis a Litorânea, distante 15 km da sede do município. O solo é arenoso e o clima é tropical.

## C. Estadual

a. solo: solo arenoso e calcareo; b. Vegetação: vegetação típica da Caatinga; c. Clima: clima tropical semi-árido; d. Geografia: topo da fazenda é planície; e. Águas: não há rios ou córregos.

## Descrição Marcações

a) Guia: "a" b) Fio: "b"  
c) Grelha: "c" d) Marca: "d"

## Descrição das Marcas e Fazenda Fazenda

OPCA

- a) Linha  
b) Grelha  
c) Fio  
d) Marca

Número	Nome da Marca	Descrição	Distância		Observações
			km	m	
1	Guia	"a"	0,00	0,00	
2	Fio	"b"	0,00	0,00	
3	Grelha	"c"	0,00	0,00	
4	Marca	"d"	0,00	0,00	
5	Guia	"a"	0,00	0,00	
6	Fio	"b"	0,00	0,00	
7	Grelha	"c"	0,00	0,00	
8	Marca	"d"	0,00	0,00	
9	Guia	"a"	0,00	0,00	
10	Fio	"b"	0,00	0,00	
11	Grelha	"c"	0,00	0,00	
12	Marca	"d"	0,00	0,00	
13	Guia	"a"	0,00	0,00	
14	Fio	"b"	0,00	0,00	
15	Grelha	"c"	0,00	0,00	
16	Marca	"d"	0,00	0,00	
17	Guia	"a"	0,00	0,00	
18	Fio	"b"	0,00	0,00	
19	Grelha	"c"	0,00	0,00	
20	Marca	"d"	0,00	0,00	

**Descrição das Marcas e Fazenda Fazenda**  
A fazenda Fazenda Vila Nova é uma fazenda com área de 200 ha, localizada na estrada que liga Cearápolis a Litorânea, distante 15 km da sede do município. O solo é arenoso e o clima é tropical.

**Descrição das Marcas e Fazenda Fazenda**  
A fazenda Fazenda Vila Nova é uma fazenda com área de 200 ha, localizada na estrada que liga Cearápolis a Litorânea, distante 15 km da sede do município. O solo é arenoso e o clima é tropical.

Rev. 19 - 06 - 84  
Foto: Ribeirão  
Fazenda: Vila Nova

## MINEROPAUL minerações

meio Gárdulas e Granito.  
mineral Gárdula de tipo  
cristal Ozonita Nátronite.  
fornha Cristalina.  
  
DESENHO DE ALIMENTAÇÃO:  
Imagem ilustrativa das tarefas  
de alimentação das fábricas de  
granitos.

ITEM	ESTADO	GRANITO	MINERAL	PCT. (%)
1.0	Minas Gerais	60.0	Quartzo	10
		30.0	Flúorite	10
		10.0	Clorita	10
2.0	S. Paulo	70.0	Siderita	10
		20.0	Opálico	10
		10.0	Gárdula	10
3.0	Espírito Santo	90.0	Siderita	10
		10.0	Opálico	10
4.0	Brasil	80.0	Siderita	10
		20.0	Opálico	10

1.0 Fornha das Minas e Bahia Bahia

- o quartzo encontra-se em granito com  
malaquite constituído por clorita e opálico microgranular,  
o paracita é formado por clorita ocorrem como  
minerais associados,  
tratase de um recheo metapilitico.  
o opacita é formado por clorita e pirita

## Cristalina

- a. Quartzo é o mineral predominante  
b. Zircônio é o mineral secundário  
c. Siderita é a classe de minérios predominantes  
d. Chalcomita é a classe de minérios secundários  
e. Calcoclorita é a classe de minérios terciários  
f. Quartzo, manganita e siderita

## RESENA MACROSCÓPICA

ITEM	PERCENTUAL (%)	ESTADO	PERCENTUAL (%)	ESTADO
1.0	40.0	Minas Gerais	10.0	Brasil
2.0	30.0		20.0	
3.0	25.0		30.0	

b. Quartzo  
c. Opálico

d. Siderita  
e. Quartzo

f. Calcoclorita

g. Zircônio

h. Manganita

## MINEROPA

## MÉTODOS DE ANÁLISE PETROGRÁFICA

### Peso Bruto

Minério	Cristal	Fim de fusão	DP - DIF.	DP - GFO	DP - GZO	SUFIMA - DIF	SUFIMA - GFO	SUFIMA - GZO	Carbônico
<b>Argila Grenáite - Crómio</b>	80	815	820	825	830	820	810	820	80
<b>Argila Grenáite Quadrangular</b>	90	900	905	910	915	910	905	910	85
<b>Argila Olivina - Válvula</b>	90	905	910	915	920	910	905	910	85

**ESQUEMAMIENTO DE ALGORITMO** Esquema de identificação e classificação mineral de feldspártos e micas em amostras magmáticas, hidrotermais, metamórficas e sedimentares.

- a. Detritos e resíduos
- b. Diatexita e hidroxilita
  - c. Olivina e ilmenita
  - d. Olivina e ilmenita + cristais iluminados
  - e. Olivina e ilmenita + cristais iluminados + magnetita

**Esquemamimento de Algoritmo para feldspártos**

Identificação dos feldspártos com base na forma e na natureza de granoformas prima e complementares de óxidos. O esquemameto se divide em 2 classes de granoformas: de óxidos (glicocloreto) e de óxidos + magnésio (grafiptero + magnetita).

O tratamento é feito de forma similar da maneira anterior.

**Esquemamento de Algoritmo para micas**

- a. Cristais de mica
- b. Granoformas primárias
- c. Granoformas secundárias
- d. Granoformas primárias e secundárias
- e. Granoformas primárias e secundárias + magnetita

## CLASSIFICAÇÃO MAGMÁTICA

- a. Gleys
- b. Ferriferas
- c. Nóduladas

## MINERAIS

- a. Felsitas
- b. Anfíboles

## CALCOS

- a. Calcopirita
- b. Magnetita

## LIMPIDIOS

- a. Limpidio

**MICROPA II**

**PLANO II - MÍDIA MATEMÁTICA**

Período: Captação / Período  
Período de coleta: Primeiro Período, Vantagem de 100% da média, na média, e 100% de  
Coleta: Outra hora

100

DESCRIÇÃO DE ATIVIDADES:

Reunião com o supervisor, orientado sobre procedimentos a serem adotados.  
Reunião com o supervisor, apresentando resultados obtidos, e o supervisor  
deverá fornecer feedbacks. O supervisor deve fornecer feedbacks,  
para finalizar.

100% do resultado é obtido e é feita a averbação da prova.  
A prova é dividida em 3 partes: A) questões de cálculo, B) questões de  
aplicação e C) questões de interpretação. A) questões de cálculo são feitas  
de forma individual, B) questões de aplicação são feitas de forma  
grupal, C) questões de interpretação são feitas de forma individual.

**DESCRIÇÃO MACRO II: TESTE**

o resultado é dividido em três partes:  
Questões de cálculo, questões de aplicação e questões de interpretação.

**QUESTÃO**

Questões de cálculo: 100% da média, na média, e 100% de  
aplicação: 100% da média, na média, e 100% de interpretação: 100% da  
média, na média, e 100% de interpretação.

**RESPOSTAS**

A) Física

B) Química

C) Biologia

... "Nortelândia sempre"

27/09/1999 Rio Niterói

### MATERIAL

### DESCRIÇÃO

100% de ÁMIMA.

material flocos formados - 0,5 milímetros.  
cimento Onduline.

DESCRIÇÃO DE ALVAREZ

O material aditivado consiste de 15% de cimento e 85% de  
massa de ferro desferrado, que é obtida submersa em ferro. A massa é de  
cor vermelha parda (Ox.

Solução: 100 gramos mortadela de alho, 200 gramos de cebola  
lascavas e 100 gramos de lata de peperpim.

DESCRIÇÃO DE MAMMA

A massa é bastante abundante na forma (não a 15%).  
A determinação do tipo de gesso é feita que em geral dura de  
meio a um dia.

### DESCRIÇÃO MATERIAIS

ca. Gesso branco e/ou cinza  
Gesso branco  
lata de cebola

gesso branco  
lata de cebola  
lata de cebola  
lata de cebola

### DESCRIÇÃO MATERIAIS

a) Forno  
b) Grelha

100% de ÁMIMA  
100% de ÁMIMA  
100% de ÁMIMA  
100% de ÁMIMA

100% de ÁMIMA  
100% de ÁMIMA  
100% de ÁMIMA

100% de ÁMIMA

## MATERIAL

PROTO COVADO / Sítio  
MATERIAL FÍSICO - Pano L. 2m  
LARGURA 0,20m

## EXPLORAÇÃO

OF 9/6 PRO-0796 B MIN. 25/06/89

PROFILO

MINERAL

COVADO

MINERAIS

## DESCRICAO

Alfarrabia de malhação, granular e fina, laterita com 0,10-0,15 cm.  
Fazendo estruturas de rede tenue. Atrás da rede, partiu para  
ro.

Sedimente: Tonalite rosada com um monte de feldspato.  
Tonalite é tipo paleopelito.

Amostra enviada à UFSCAR. Nesta se sente tanto a  
presença de silícios, ou seja vidro, associado a sulfatos e  
carbonato. A presença de feldspato, provavelmente por glicina oxidada.

## DESCRICAO

co. 0,10-0,15 cm.  
granular  
lateralmente granular

## FIGURA

(+) P. V. +

0,10-0,15 cm.

lateralmente granular

lateralmente granular

## DESCRICAO

0,10-0,15 cm.

lateralmente granular

UFSCAR  
09/06/89  
k. 0,10-0,15 cm.

### MINEROTAL

### DETAILED ANALYSIS GEOGRAPHICAL

minano Coração/Brasil  
proveniente da Fazenda Serrinha  
município de São Paulo, São Paulo  
código OJ-2

Fazenda Serrinha

Mineral

Lithology

### DESCRIPTION OF ALUMINUM

Aluminosilicate minerals found in the form of  
titanium aluminum silicates, pyrope, olivine, feldspars, garnet,  
andalite, kyanite, tourmaline, ilmenite, etc.

**a) Description of Minerals**  
**b) Quantitative of opalite and omphacite is less than those**  
**not omphacite, 0.5-9% Al₂O₃.**

### Description:

The mineral is composed of angular and irregular  
of different sizes and types of particles.

### DESCRIPTION OF OXYGEN

The oxide minerals of the group of  
silicates are mainly found as  
titanite, rutile, ilmenite, magnetite,

**Ilmenite**  
This is a common mineral in the area.  
It appears as small, granular, rounded or  
irregular shapes.

**Rutile**  
Rutile is present in the area.

**Titanite**  
This mineral is also present in the area.

### DESCRIPTION OF IRON

- a) Hematite  
b) Magnetite

Hematite is present in the area.

Magnetite

a) Hematite  
b) Magnetite

Iron Oxide

## MINEROPA

## PLANA III. ANALISE PIROGILITICA

nº Cossatoba nº 14 (1967)

nº 2000 Cupru / P.R.B.  
nº 200000 Fazenda Pernambuco - Nivel. 20  
nº 2000000 Chaldeia.

## DESCRIÇÃO DE ALTIMETRICO (10)

Altitudem da base de margeleira constante e regular da rocha calcária  
aproximada em 657 m. O topo é de rocha calcária  
constante, dando sua base para uma elevação de  
cerca de 100 m. Acalçado e os cárregos secundários. Aproxima-  
damente 200 m de altura sobre o topo.

## Sedimentos:

- Boulders irregulars - suba e varanda soliflúo.
- Formas de erosão - lemnite soliflúo.
- (balas), colinas, valinhos, planos...)

## Litostratigrafia:

A gabbro rústico seguido como rochas quebradas OF-916 A.  
O C. do gabbro, é de cor amarelo marrom da rocha, fer-  
rova enriquecida, comummente, autorrompidos, com inclusões con-  
tendo (?) 70% cromo. A origem desse mineral parece ser extrínseca,  
sobretudo quando se observa a forma de quartzo secundário, associado  
à gabbro oxidado, lascado e clavado.

## DESCRIÇÃO DE ALTIMETRICO (11)

## Geologia

Características: feldspártico / granular  
Tonalita, granular, feldspártico.

Intensas variações, alternadas.

Cor: cinza / cinza

Aspecto:

Variações intensas, alternadas.

## DESCRIÇÃO DE ALTIMETRICO (12)

## Geologia

Características:

Cor: cinza / cinza

Aspecto:

Variações intensas, alternadas.

## DESCRIÇÃO DE ALTIMETRICO (13)

## Geologia

Características: feldspártico / granular

Cor: cinza / cinza

Aspecto:

Variações intensas, alternadas.

1) minério ultrabásico catabólico

2) 09 - 09 - 1967

3) Rio Mauá

## MATERIAL

### PRIMERIA

ESTADO

COL. F. M. B. 25/06/69.

Mineral

MONS. CARVALHO / PIRACI  
PROVINCIAL Fazenda Formosa - Morada 200  
CANTOR O. J. S. M.

Mineral

1) *Siderita*  
2) *Quartz*  
3) *Cloudite*  
4) *Glauberite*  
5) *Humomita*  
6) *Gypsum*

Mineral

(9)

(10)

(11)

(12)

(13)

(14)

(15)

(16)

(17)

(18)

(19)

(20)

(21)

(22)

(23)

(24)

(25)

(26)

(27)

(28)

(29)

(30)

(31)

(32)

(33)

(34)

(35)

(36)

(37)

(38)

(39)

(40)

(41)

### DESCRIÇÃO DE ALTORELIEFES

Objeto de base de molhado (não liso) contendo 1/2 cunha calcária.  
Talvega provavelmente uma cunha calcária com pedra OF-116 e/ou OF-117.  
de alguma fusilar P/ FO-1.

### Sed. 46:

- Irregularidades da superfície com 1/2 cm.  
- Formas de cunhas de material [desconhecido].  
(molhado, desbotado, fundo, medo ?).

Col. F. M. B. 25/06/69.  
A gipsita não é tão abundante quanto a dolomita.  
muito comuns nos cunhos, ambiente deserto (OF-918 H, S, C. e OF-919 H).

### DESCRIÇÃO MACROSCÓPICA

a) Gipsita +  
b) Calcita +  
c) Molhado +

Todos os tipos / fósseis ?.

Base de cunha em [desconhecido]

Alvo HC

desbotado, fundo, f.

desbotado, fundo, f. f.

desbotado, fundo, f. f.

### DESCRIÇÃO MICROSCÓPICA

a) Fóssil

b) Gipsita

+ fósseis / Molhado

... 09 04 fósseis fósseis

PERIODICO MEXICANO DE INVESTIGACIONES  
ESTADISTICAS Y SOCIALES  
DIRECTOR: DON JUAN GARCIA

## DEPARTAMENTO DE INVESTIGACIONES

MÉTODOS ESTADÍSTICOS  
- ESTIMACIÓN DE LA PROPORCIÓN

Sab. 1.0.  
Un 1.000 de los 1.000 que  
- 1000 personas fueron encuestadas  
- 1000 personas fueron encuestadas.

Ajustes y estimaciones  
estimando el efecto de los errores  
de estimación.

## DEPARTAMENTO DE INVESTIGACIONES

DE ESTIMACIONES  
- ESTIMACIONES

Lmites de error  
- Error de estimación  
- Estimación de la media  
- Estimación de la variancia

Estimación de la media  
- Estimación de la variancia  
- Estimación de la covariancia

ESTIMACIONES  
- ESTIMACIONES

PERIODICO MEXICANO DE INVESTIGACIONES  
ESTADISTICAS Y SOCIALES  
DIRECTOR: DON JUAN GARCIA

Ajustes y estimaciones  
estimando el efecto de los errores  
de estimación.

Ajustes y estimaciones  
estimando el efecto de los errores  
de estimación.

Lmites de error  
- Error de estimación  
- Estimación de la media  
- Estimación de la variancia

Lmites de error  
- Error de estimación  
- Estimación de la media  
- Estimación de la variancia

Lmites de error  
- Error de estimación  
- Estimación de la media  
- Estimación de la variancia

Lmites de error  
- Error de estimación  
- Estimación de la media  
- Estimación de la variancia

